



大规模集成硅基光电子芯片封测技术

周林杰

上海交通大学
上海交大-平湖智能光电研究院
ljzhou@sjtu.edu.cn

2022年12月16日



汇报内容

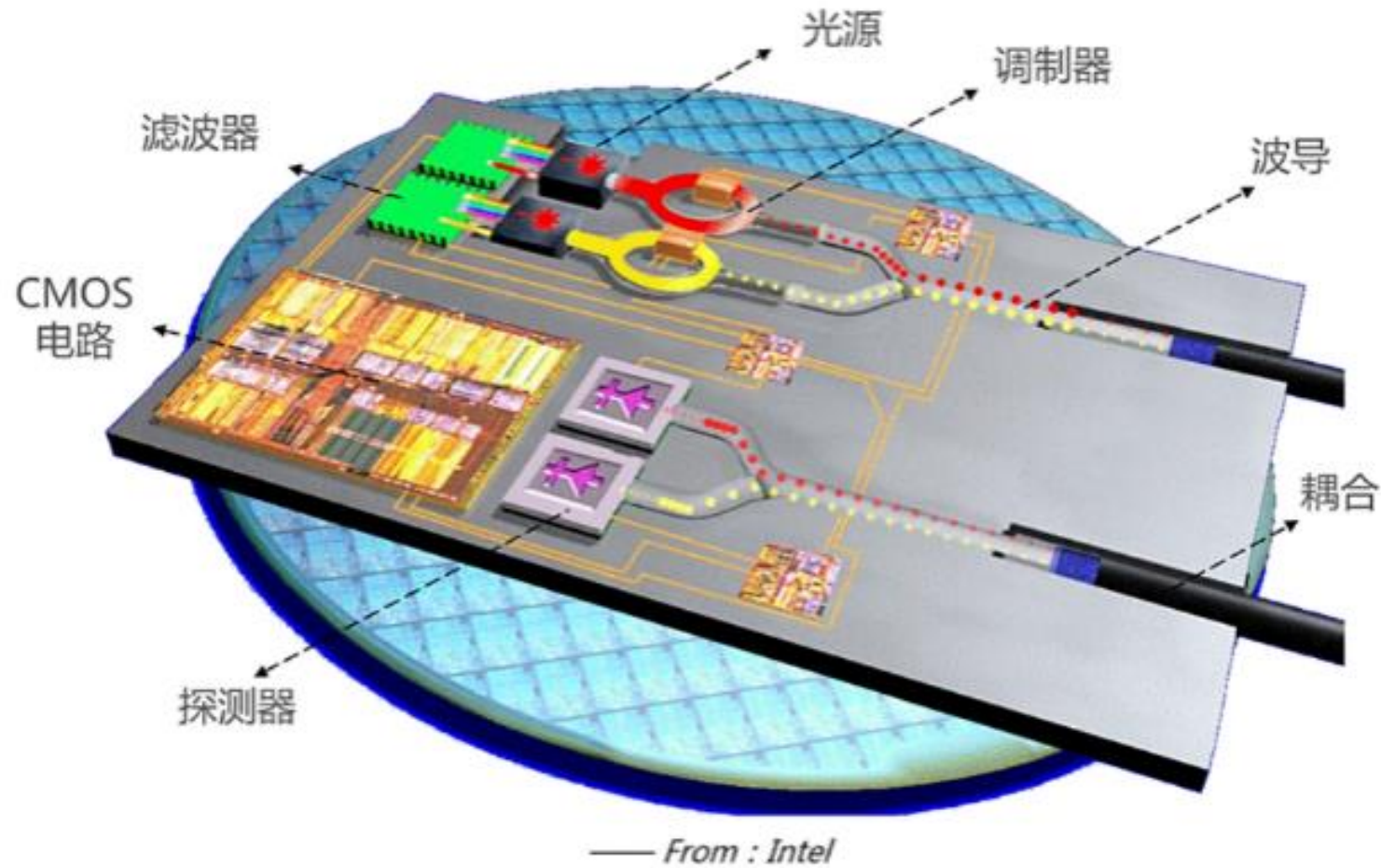
■ 光电子封测平台

- 光学封装
- 电学封装
- 器件测试
- 失效分析

■ 两个实例

- 大规模光开关
- 激光雷达芯片

硅基光电子集成芯片



硅光优势

- 低损耗光波导, 多种无源器件
- 低成本、高密度、大规模集成
- 成熟CMOS兼容制备工艺
- 与集成电路的光电集成

硅光芯片封测面临的问题

■ 光学封装

- 如何实现高密度光波导I/O接口和光纤连接?

■ 电学封装

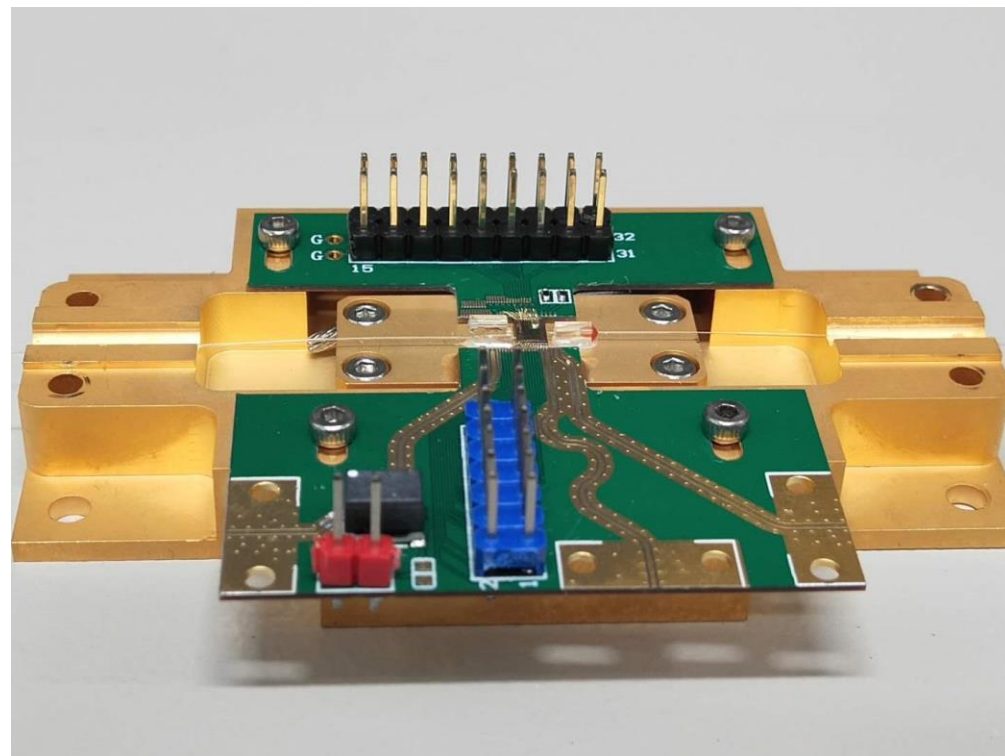
- 如何实现硅光芯片的高密度电I/O接口连接?

■ 失效检测

- 如何定位芯片和模块问题部位和实效原因?

■ 控制电路

- 如何产生高密度多端口控制电信号?



光电子芯片封装测试平台



• 光纤耦合封装

- 水平耦合封装工艺成熟
- 滴胶固化工艺持续优化
- 垂直耦合工艺探索中
- 自动耦合机功能开发中

• 电学引线键合

- 20微米细线键合
- 多排电极键合
- 高速短线键合

• 器件性能测试

- 无源器件测试: 插损、消光比、PDL等
- 有源器件测试: S参数、I-V曲线等

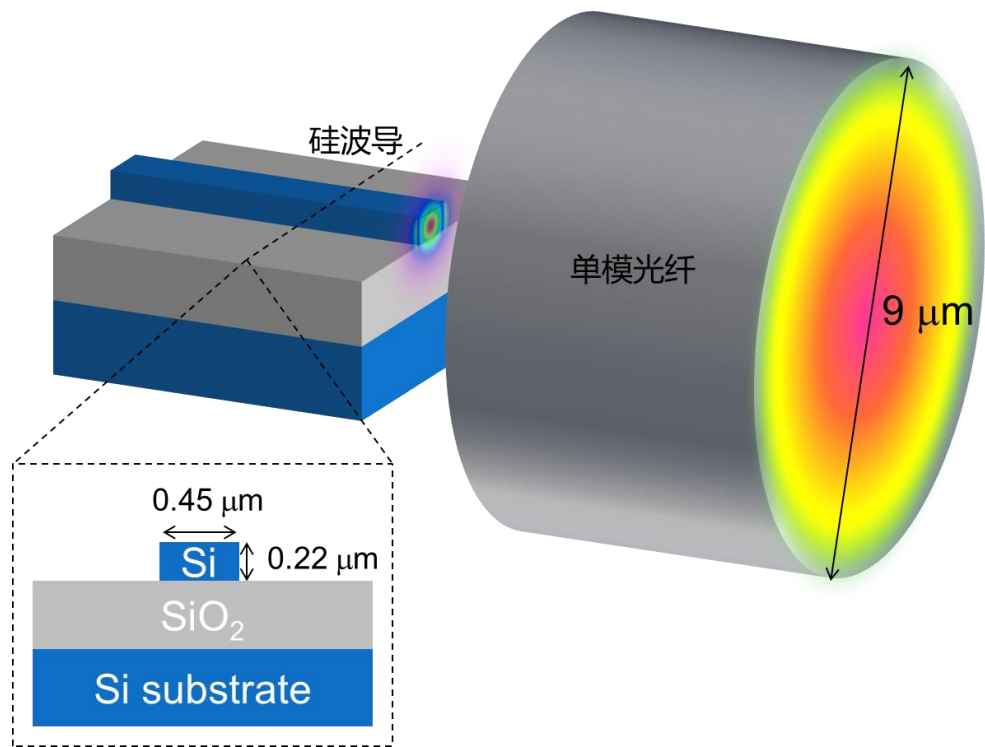
• 晶圆自动测试

- 部分设备程序开发
- 完成晶圆耦合测试

• 失效分析和微加工

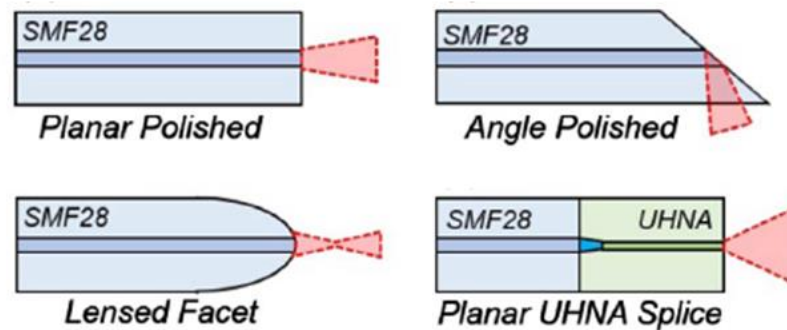
- XRM: 样品内部CT分析
- FIB: TEM样品制备、电路修复、形貌分析、微纳加工

硅光波导耦合：光纤选择

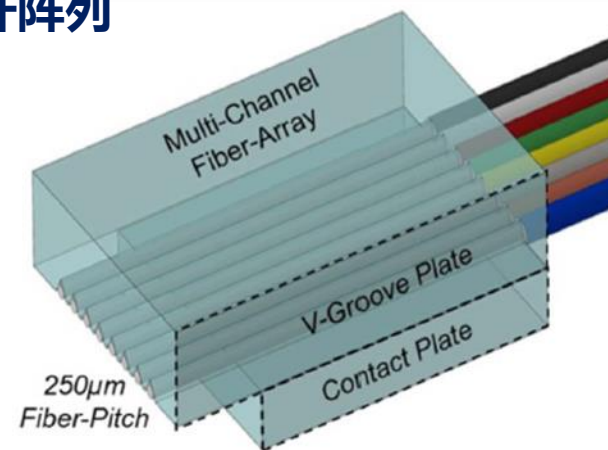


单模光纤和硅波导模场严重失配 → 直接端面耦合效率低

■ 光纤端面结构



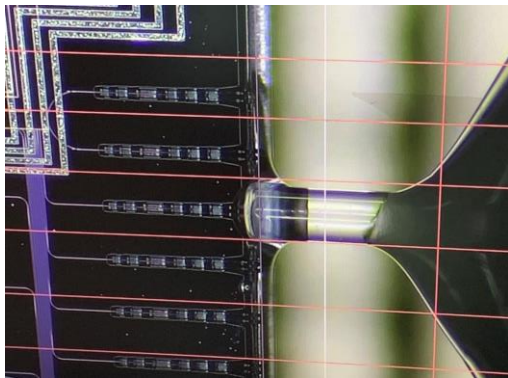
■ 光纤阵列



光学封装：①光纤水平耦合封装

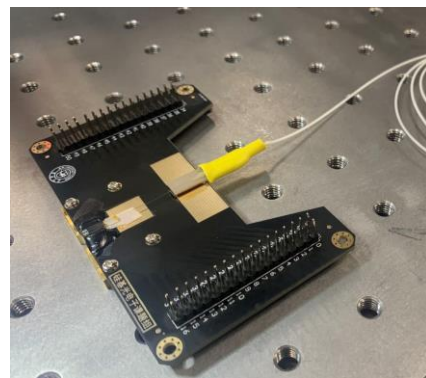
光纤类型	通道数	耦合附加损耗 (dB)
单模光纤	1	0.3
单模透镜光纤	1	0.5
单模光纤阵列	<20	0.8
单模光纤阵列	20-38	1.5
单模透镜光纤阵列		视透镜模斑和通道数而定
其他定制光纤		视透镜模斑和通道数而定

单根平头光纤封装 (模斑10 μ m)



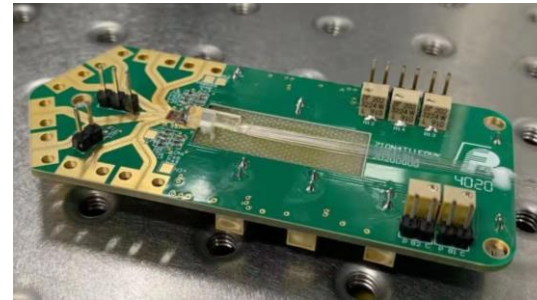
波导端面SSC耦合器

单根锥形光纤封装 (模斑3 μ m)

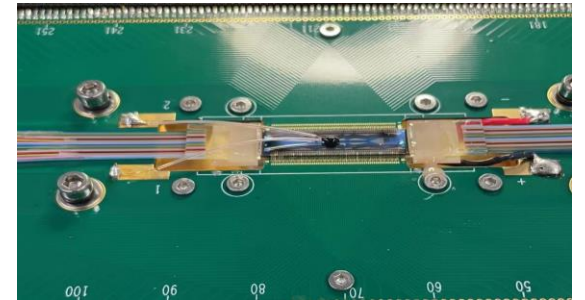


根据PD电流监控耦合

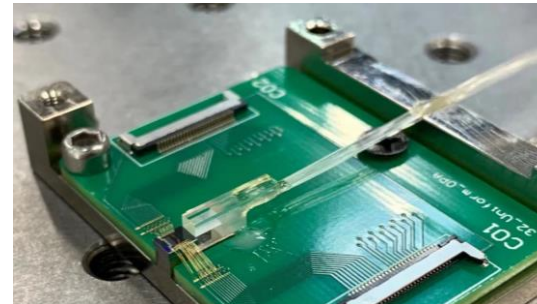
单边14通道单模光纤阵列



双边46通道单模光纤阵列



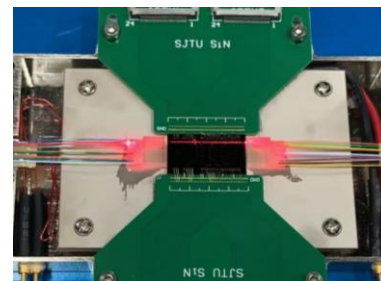
8通道6微米芯径单模光纤阵列



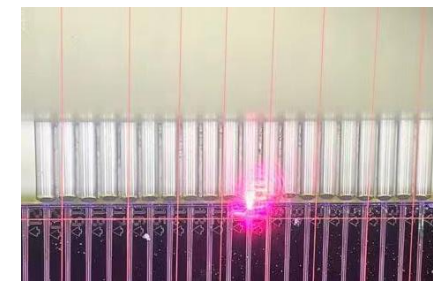
10通道6微米芯径单模光纤阵列



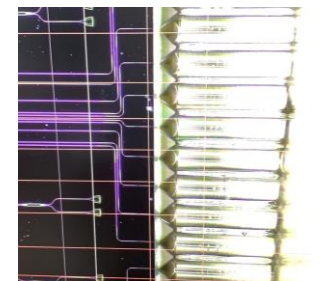
特殊间距单模光纤阵列



20通道楔形光纤阵列



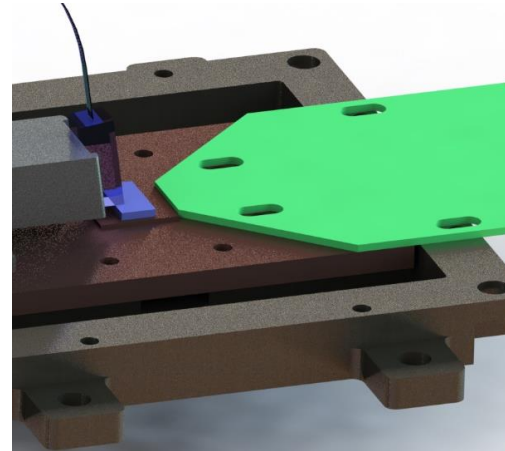
20通道锥形光纤阵列



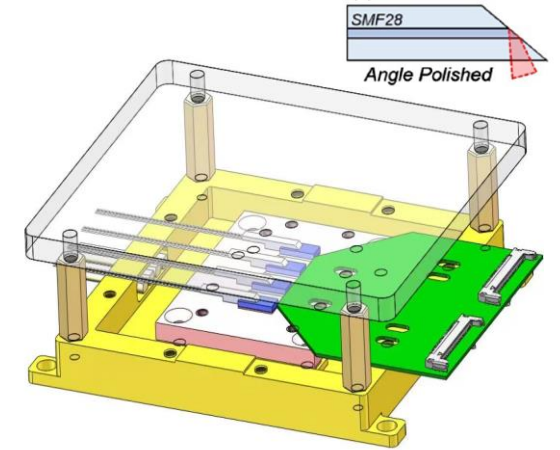
光学封装：②光纤垂直耦合封装

光纤类型	通道数	耦合附加损耗 (dB)
单模光纤	1	0.3
单模光纤阵列	<20	0.8
单模光纤阵列	20-38	1.5
其他定制光纤		视透镜模斑和通道数而定

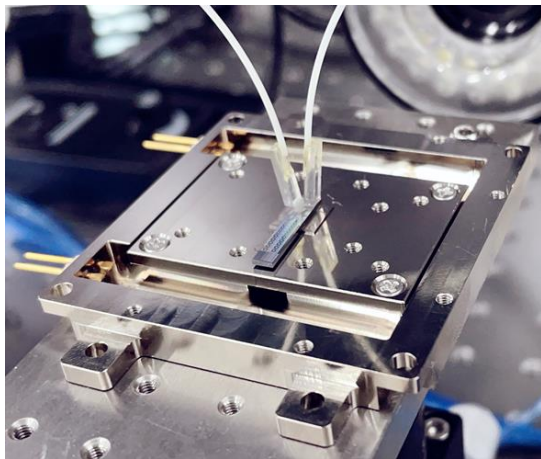
管壳设计（垂直耦合）



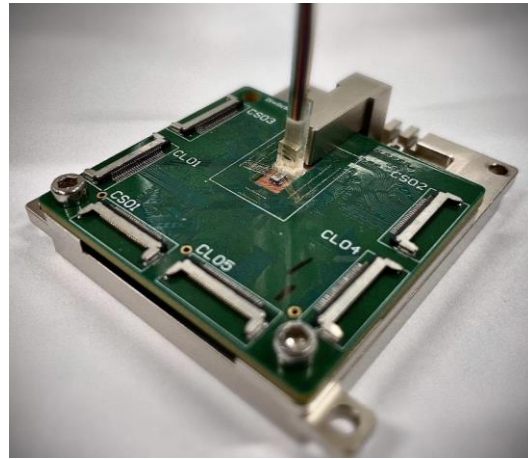
管壳设计（水平反射式）



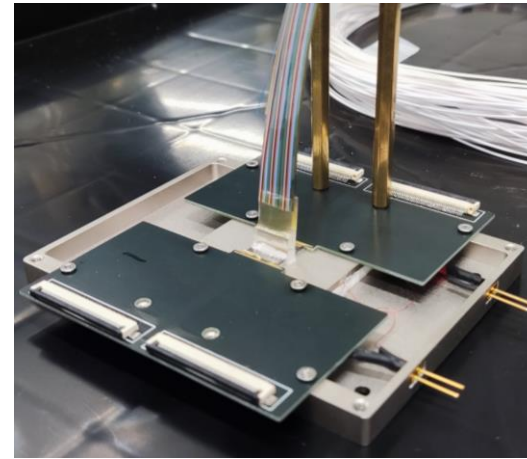
双边单通道光栅垂直耦合



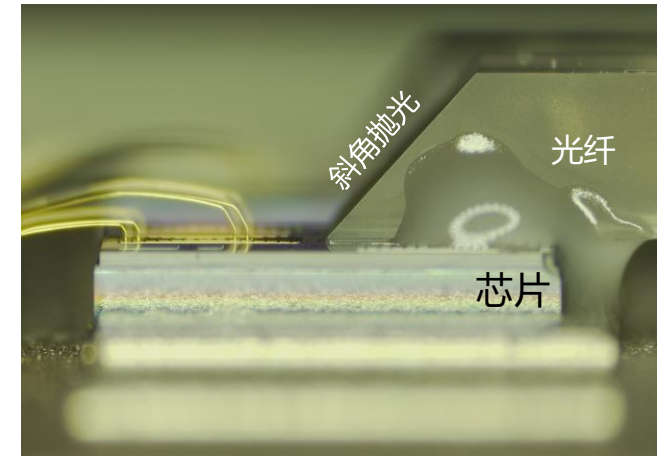
单边20通道光栅垂直耦合



单边81通道光栅垂直耦合



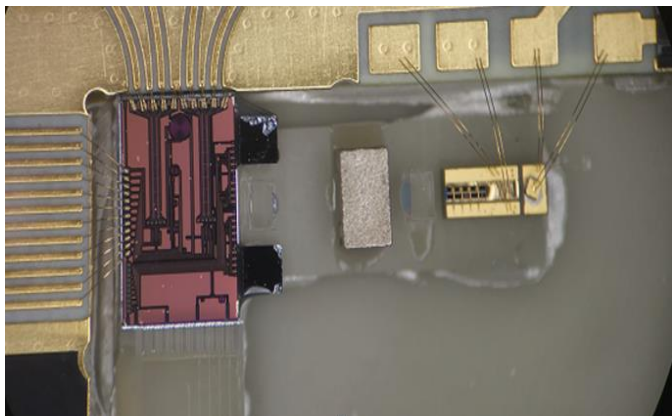
单边水平反射式光栅垂直耦合



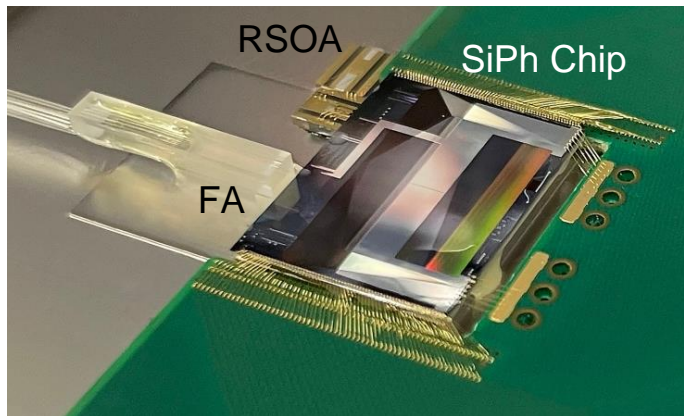
光学封装：③透镜和端面耦合封装

- **激光器—透镜—PIC芯片/光纤耦合**
 - 利用透镜实现模斑转换，耦合效率~60%-80%
- **异质异构芯片直接端面耦合**
 - 通过波导SSC实现高效耦合

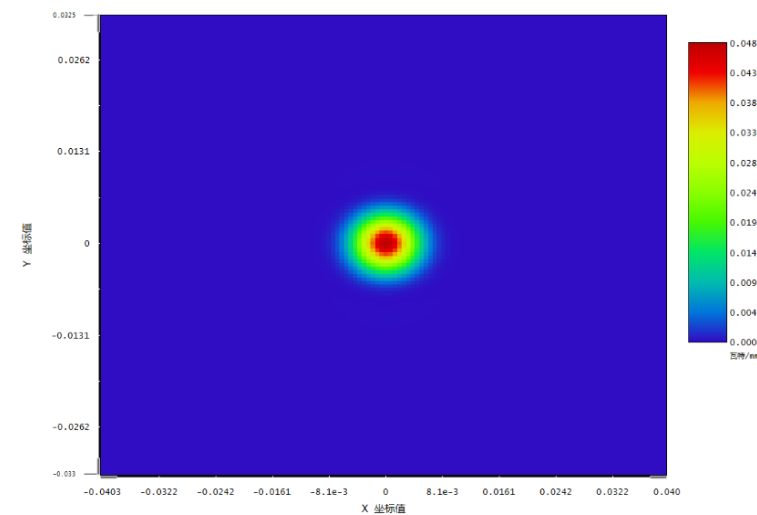
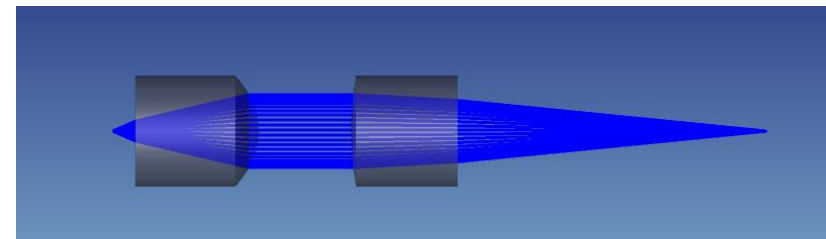
激光器-双透镜（隔离器）-硅光芯片



半导体增益芯片-硅光芯片



Zemax光路仿真



总辐照度 表面 9

光束波长为1.55000 μm 介质折射率为1.00000 @ 0.0000 mm
显示 X 宽度 = 8.0620E-02, Y 高度 = 6.5539E-02 毫米
峰值辐照度 = 4.8215E-02 瓦特/毫米², 总功率 = 2.4280E-06 瓦特
光纤效率: 系统 0.992468, 接收 0.951803, 耦合效率 0.944634
光束宽度 X = 6.27168E-03, Y = 5.83722E-03 毫米

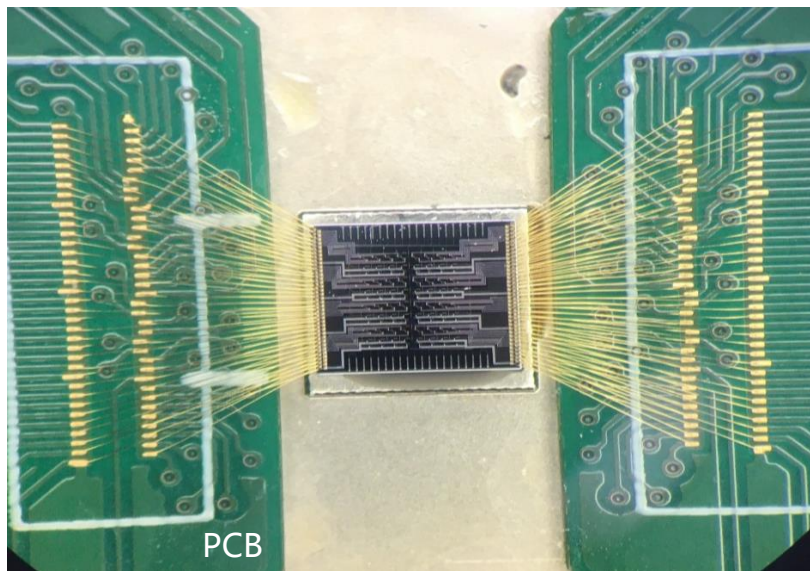
电学封装：①引线键合

■ 自动引线键合

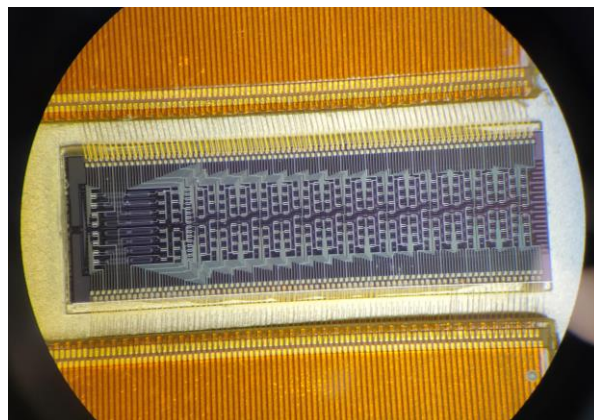
- 高密度多层（4层）打线和射频打线
- 根据线长选择合适的线弧类型和参数

高密度多层打线：

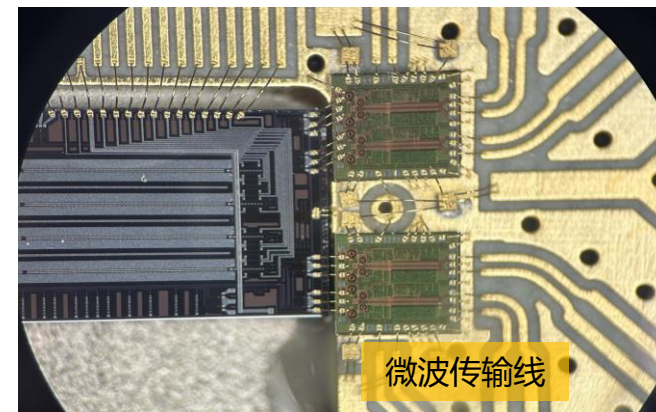
- ✓ 键盘尺寸 $\geq 70 \times 70 \mu\text{m}$
- ✓ 排布周期 $\geq 100 \mu\text{m}$



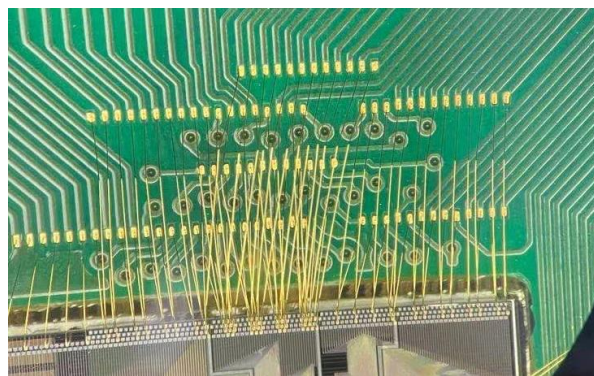
双层打线



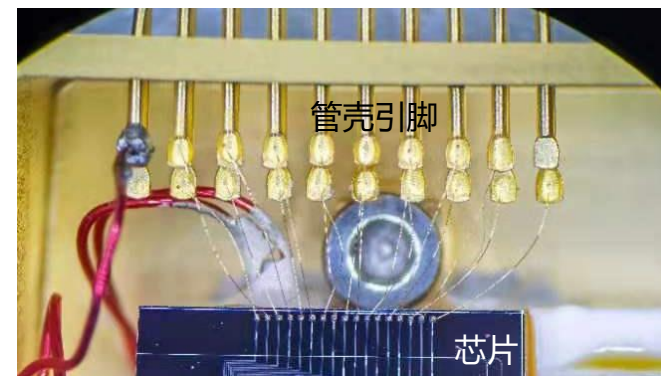
射频打线



四层打线



深腔打线

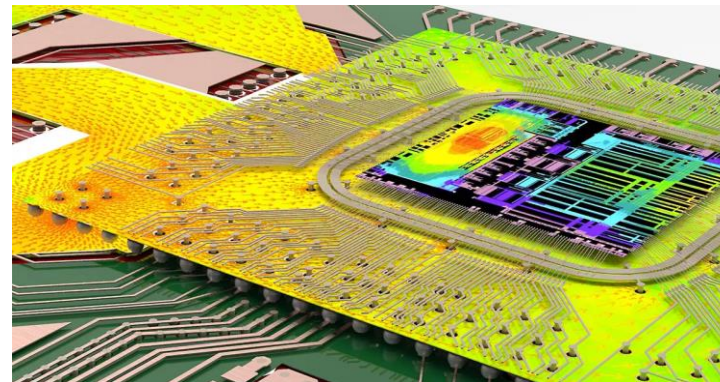
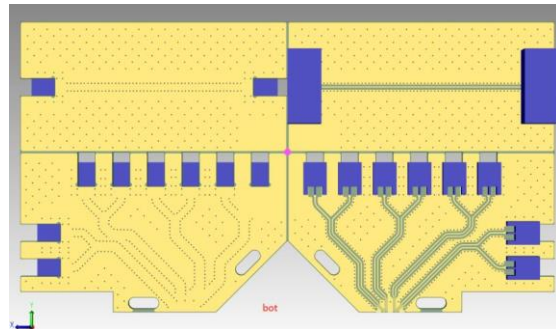


电学封装：②高速射频封装

■ 高频封装 (带宽>40GHz)

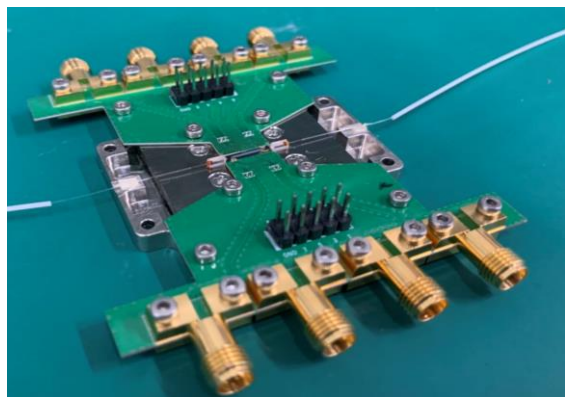
- 根据芯片电极版图GDS文件, 设计封装电路板和选择射频接头
- 电路板预留测试线, 作为板端性能测试参考

射频电路板设计

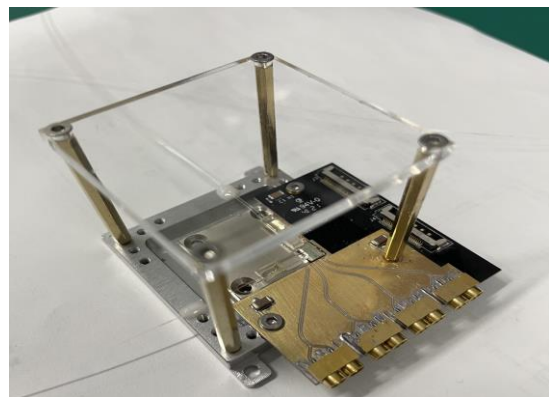


射频传输仿真分析

调制器差分对信号, SMA接口



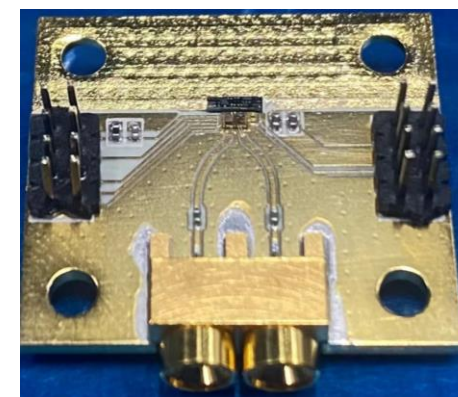
8通道射频信号, GPPO接口



8通道差分射频信号, GPPO接口



探测器射频输出, GPPO接口

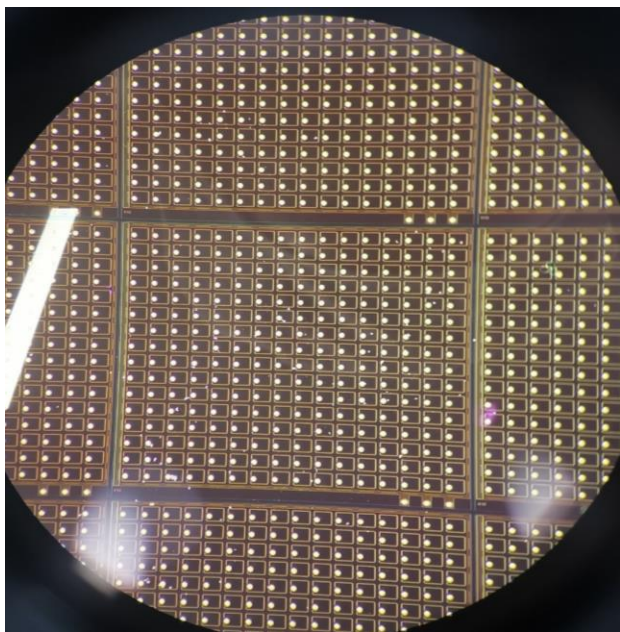


电学封装：③倒装焊接

■ 先进封装工艺

- 晶圆级自动植球 (Au)
- 芯片间倒装焊

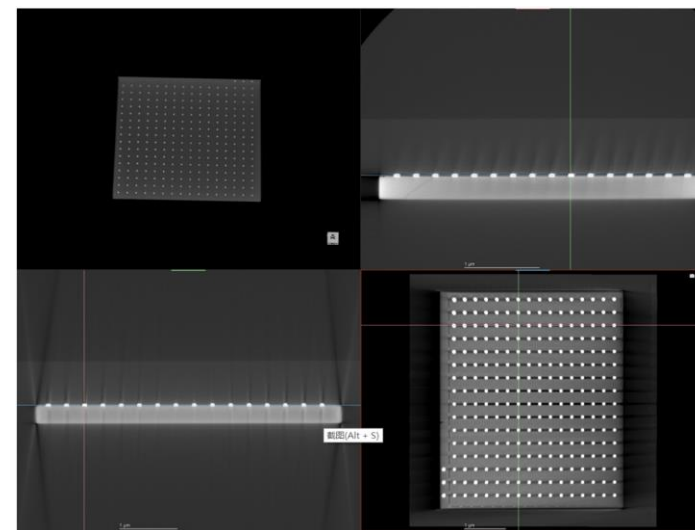
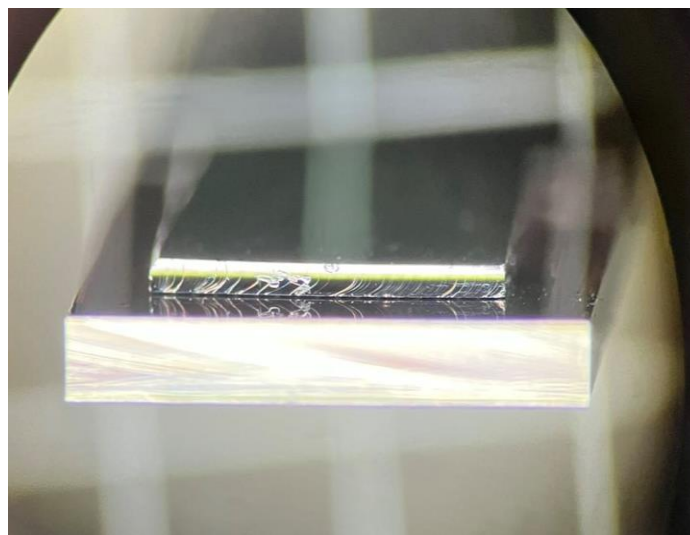
晶圆级自动植金球 (4英寸)



■ 亚微米贴片

- 钎焊料焊接、UV固化、金球热压焊接、超声焊接和多芯片共晶焊
- 贴片对位精度 $\pm 0.5\mu\text{m}$

芯片倒装超声焊接



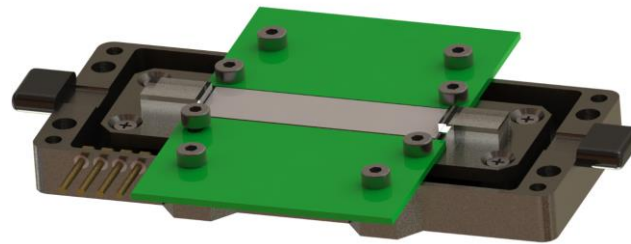
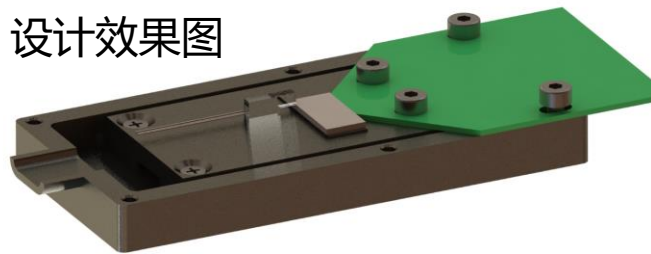
相比引线键合，金属连线更短，适合高密度和高速电学3D封装

模块化技术：①温控管壳设计

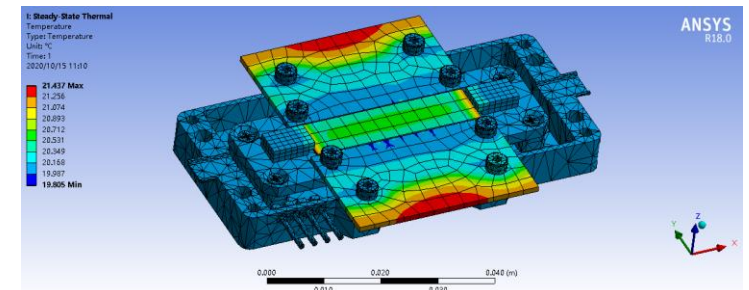
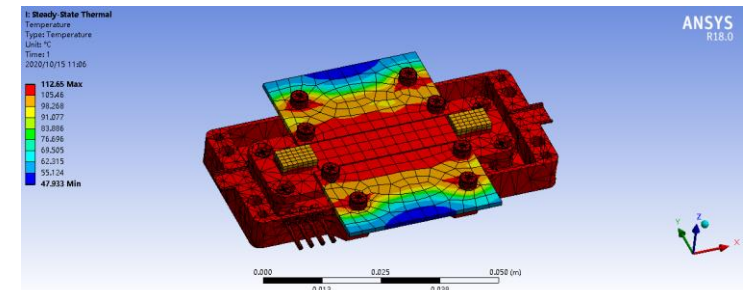
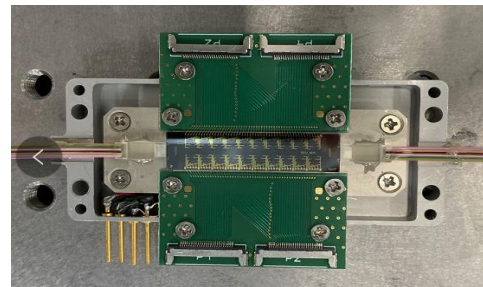
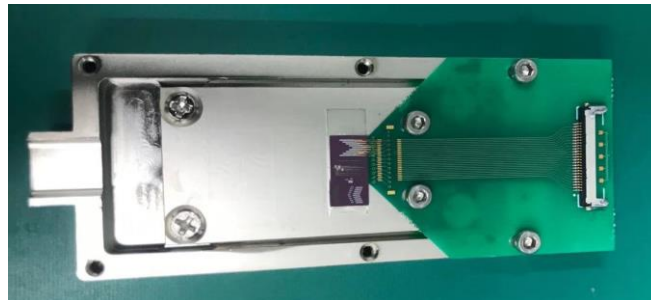
■ 管壳热力学仿真

- 根据芯片发热量，进行热力学建模仿真，设计管壳和TEC选型
- 对于大功率芯片，可设计水冷散热

设计效果图



实物图

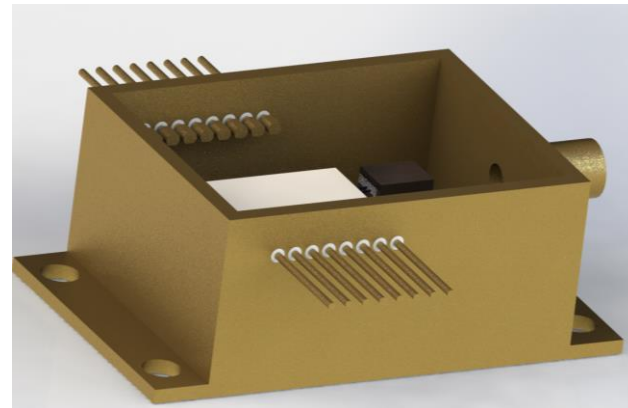


模块化技术：②气密性封装

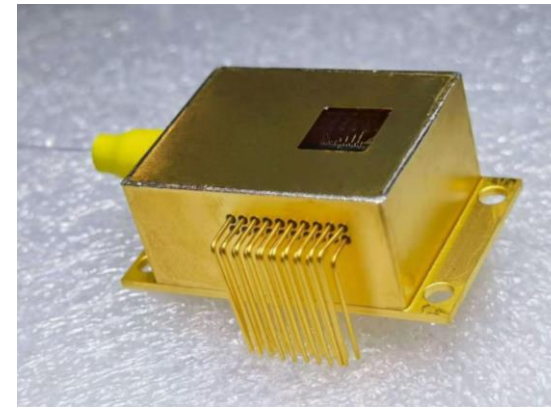
■ 管壳气密性封装

- 密封气体：氮气
- 有效防止高低温环境和高湿度对器件造成的影响
- 可设计和定制封装管壳

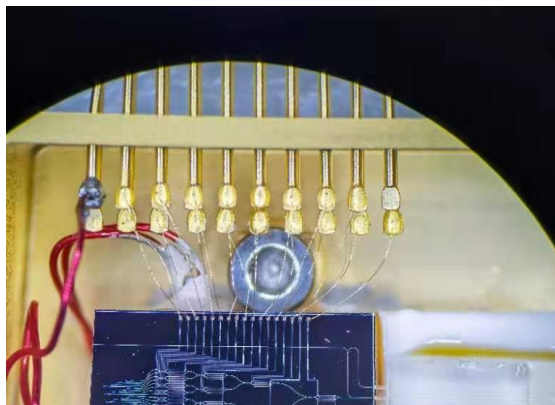
管壳设计



平行封焊封盖

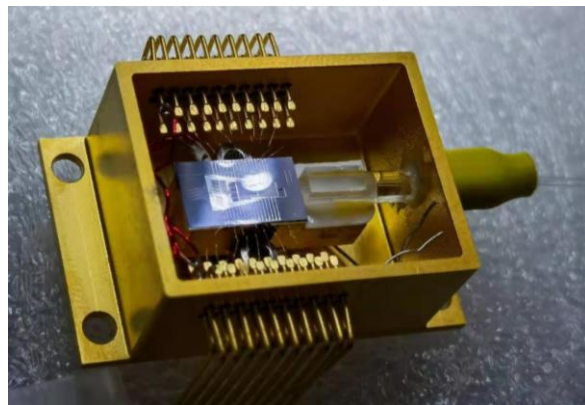


金丝线尾点胶固定



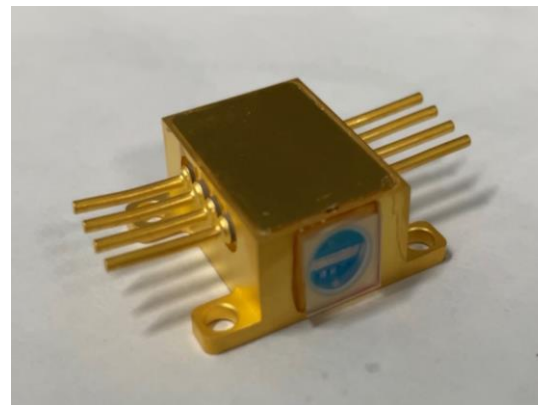
增加电学封装的可靠性

管嘴密封

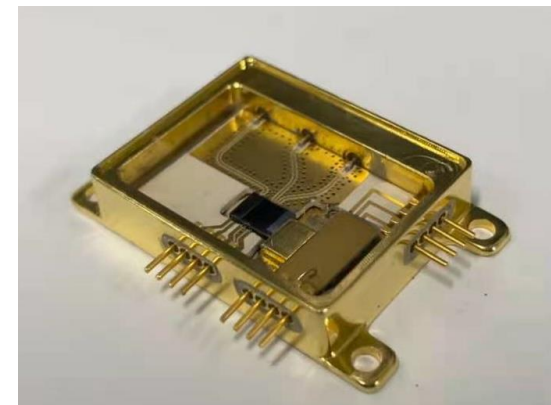


保证封装气密性

窗口输出气密性封装

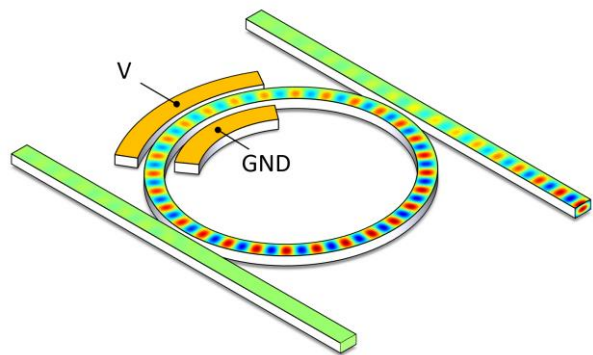


射频气密性封装

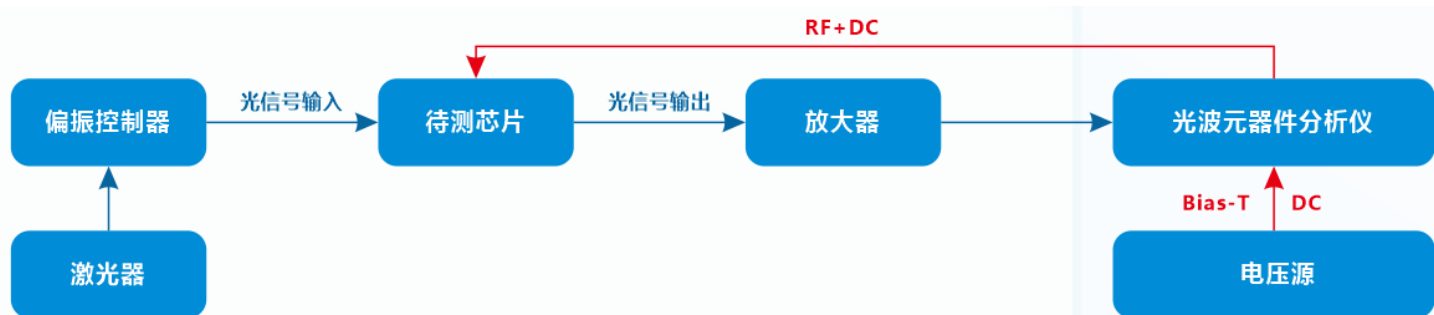


器件测试：①调制器测试

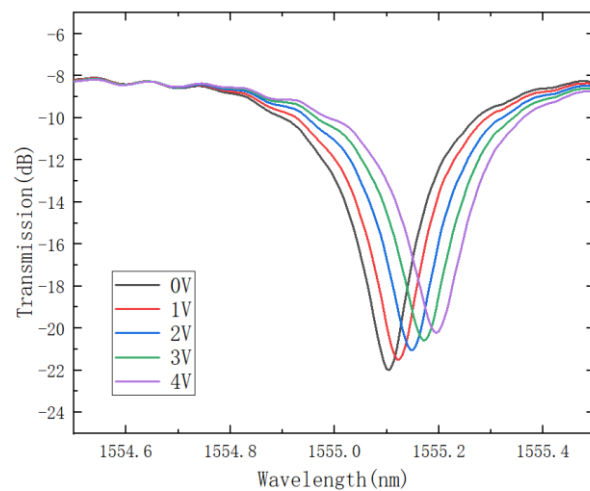
■ 器件结构



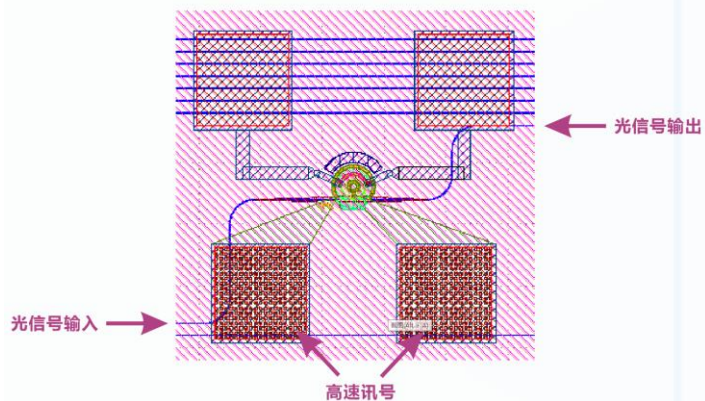
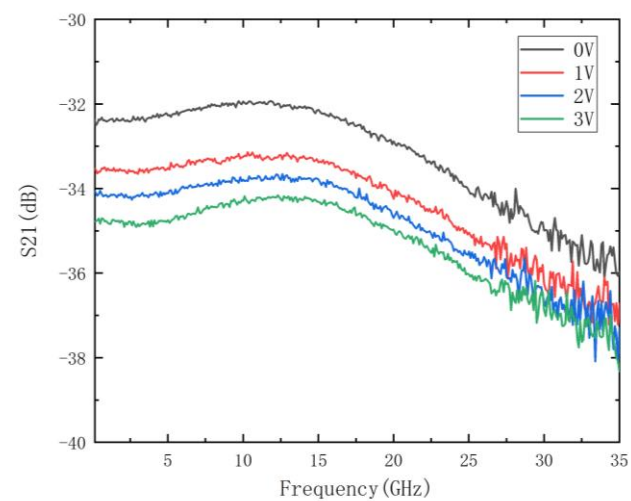
■ 测试系统



传输频谱

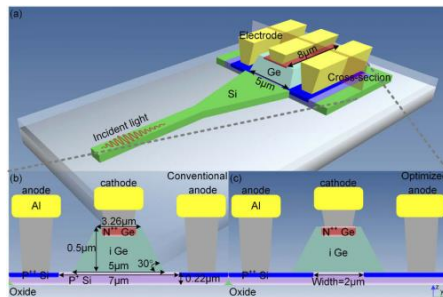


电光响应S参数

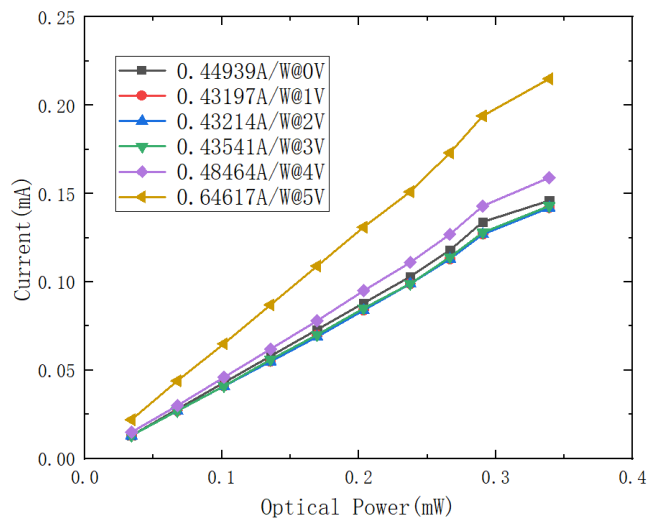


器件测试：②探测器测试

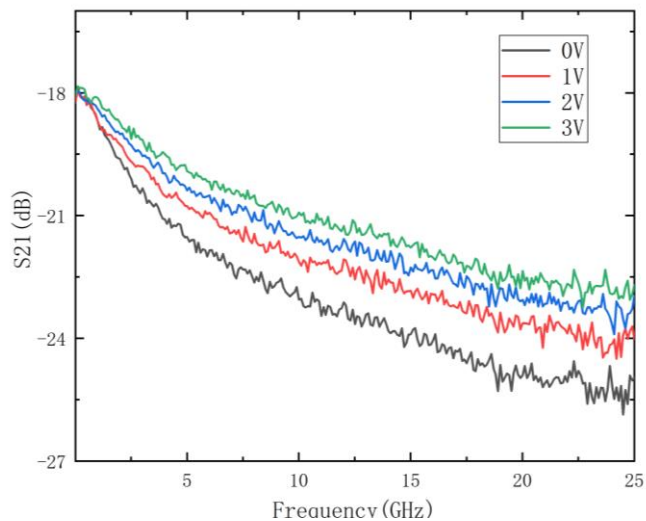
■ 器件结构



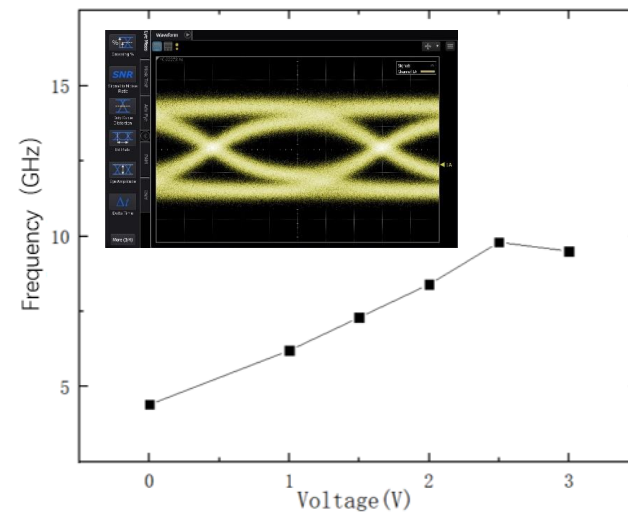
光电流探测



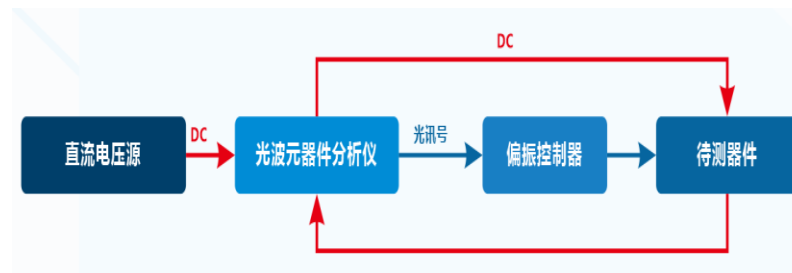
光电响应S参数



微波工作带宽和眼图



■ 测试系统



晶圆测试：①光栅耦合测试

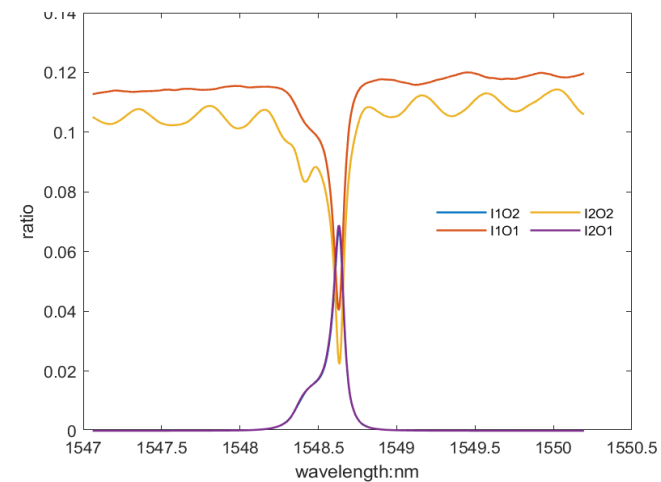
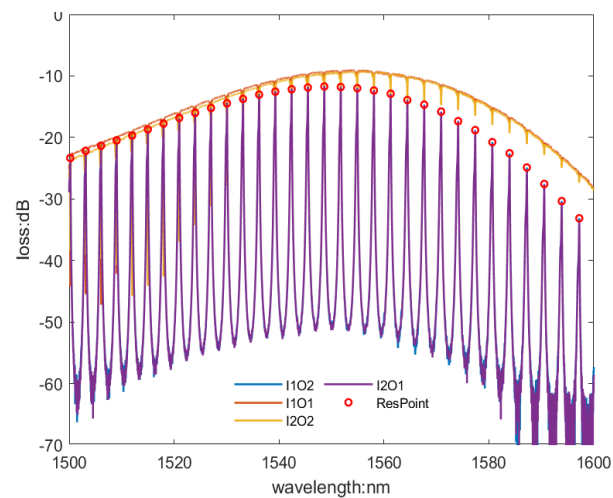
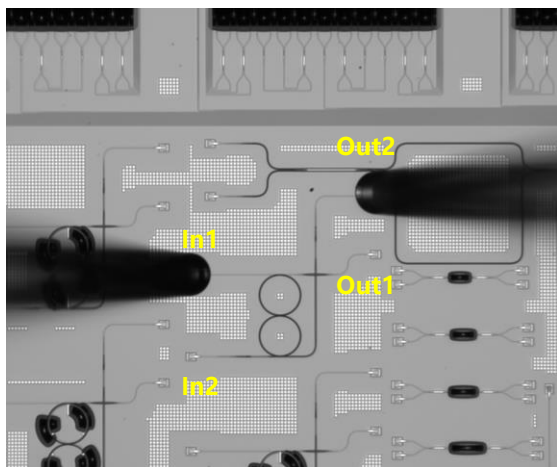


■ 单光纤垂直耦合测试

- 耦合时间：3-4s
- 耦合重复性：<0.2dB

■ 光纤阵列垂直耦合测试

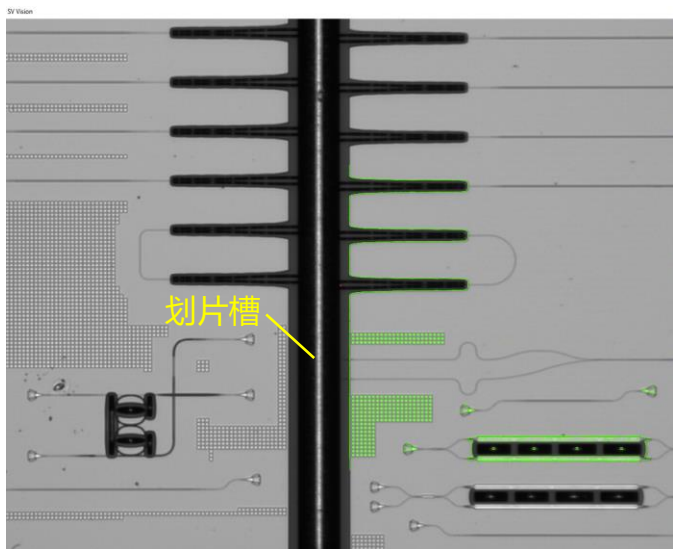
- 耦合时间：2-3s
- 耦合重复性：<0.5dB



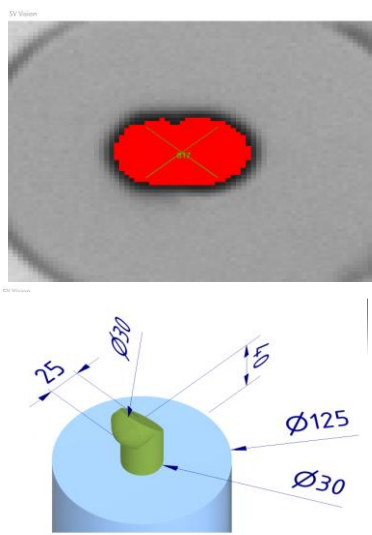
晶圆测试：②端面耦合测试

■ 晶圆级端面耦合测试

- 光纤探针：PWB 打印微结构（光路90度转角）
- 高精度微米级图像识别，校准光纤角度
- 识别光纤探针位置，放入划片槽中与波导端面耦合



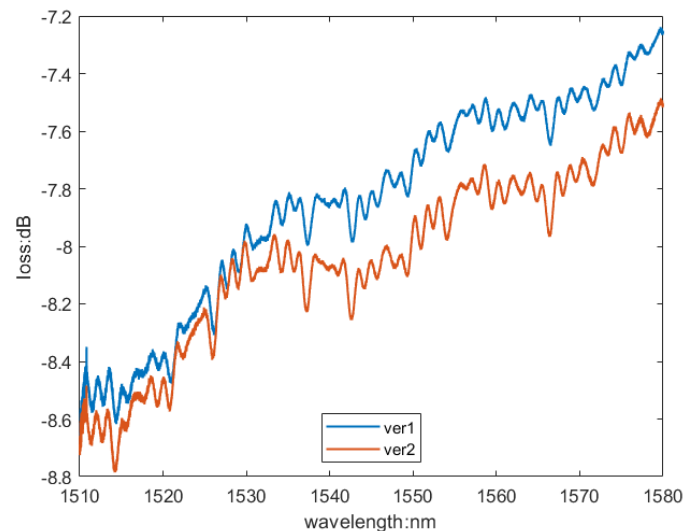
• 测试芯片



• PWB光纤探针

■ Bar条端面耦合测试

- 通过高倍镜判断FA以及 bar条边沿，使 FA 与 bar条中波导光斑实现精确角度匹配和轴向匹配
- 耦合损耗重复性 $< 0.5\text{dB}$

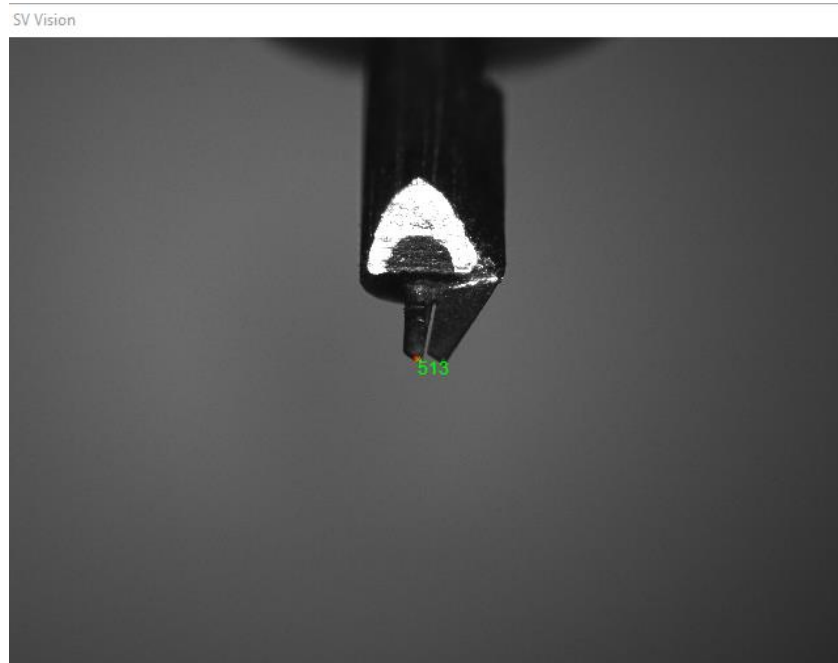


• FA端面耦合测试重复谱线

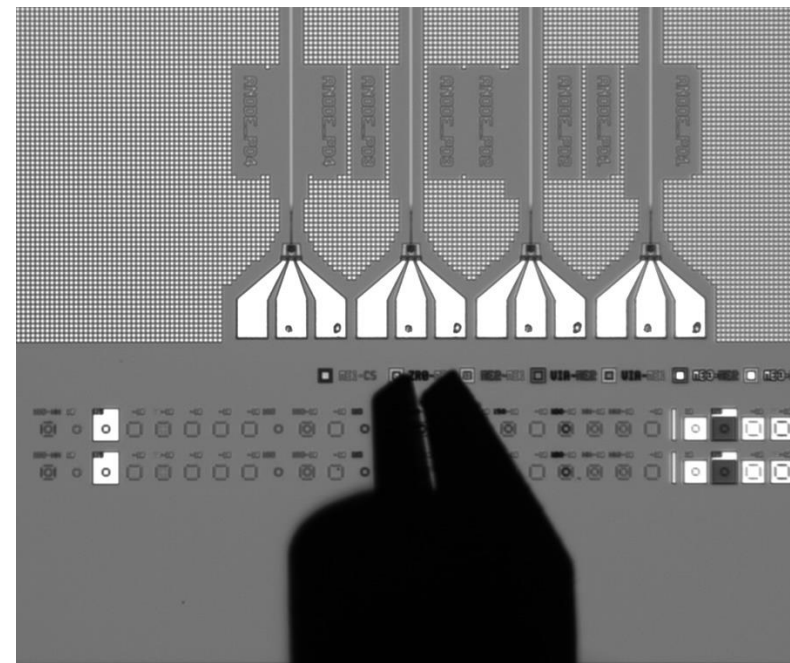
晶圆测试：③电学测试

■ 电信号测试

- 高精度微米级图像识别：识别探针针尖，精确获取位置
- 压放位置、压放痕迹均一性良好
- 单个器件压放+测试时间小于 1s



- 探针识别

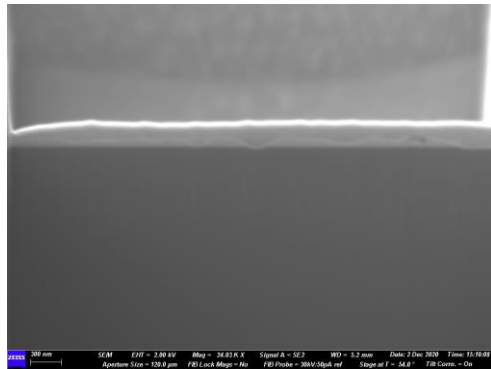
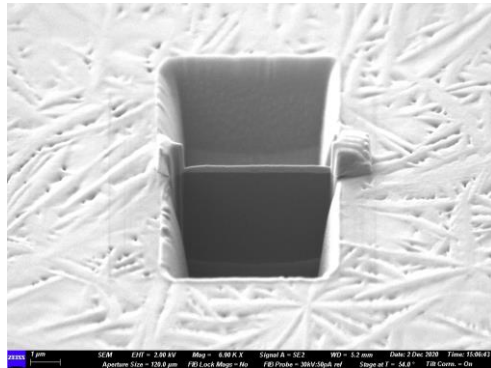


- 电学测试

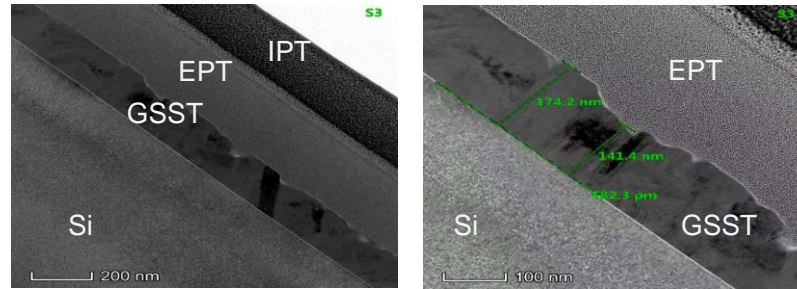
器件分析：①TEM制样和材料测定

- 在目标区域制备TEM样品，做U形切割，放置于铜网上进行TEM观察
- 通过TEM能测试材料的化学成分和分布情况

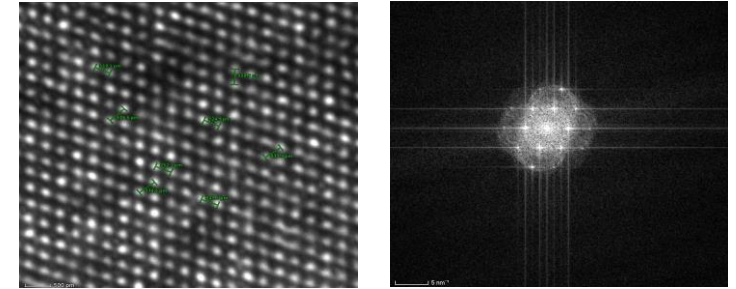
TEM制样



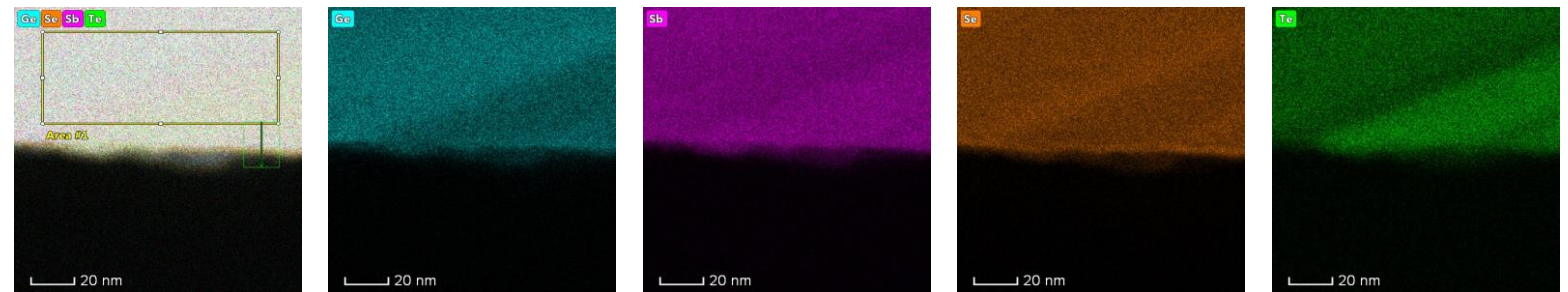
材料厚度测量



晶格间距测量和衍射图案



成分分析，观察Ge Se Sb Te四种元素在合金中的含量



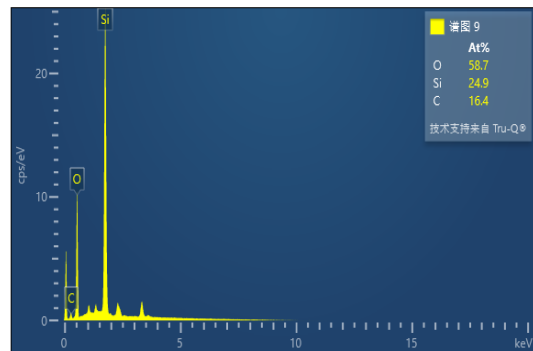
Z	Element	Family	Atomic Fraction (%)	Atomic Error (%)	Mass Fraction (%)	Mass Error (%)	Fit error (%)
32	Ge	K	26.85	3.38	21.33	1.88	0.13
34	Se	K	41.27	7.01	35.65	5.14	0.27
51	Sb	K	23.16	3.85	30.85	4.31	0.27
52	Te	K	8.72	1.44	12.17	1.69	0.29

器件分析：②器件失效点成分分析

- 利用EDS能谱仪对器件失效点进行成分分析

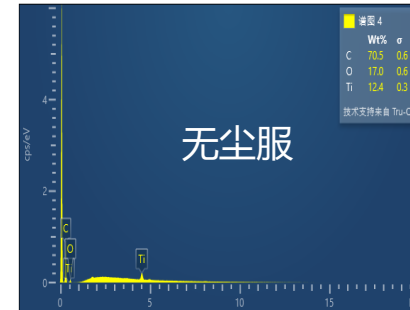
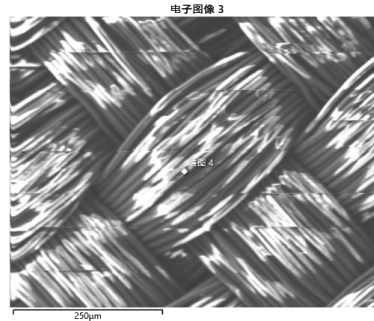


失效区域元素成分测试

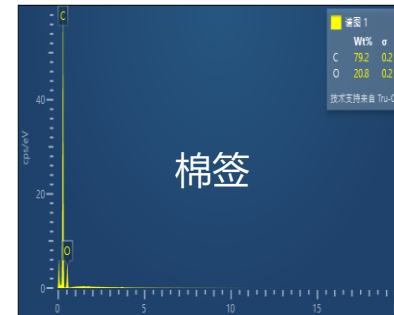
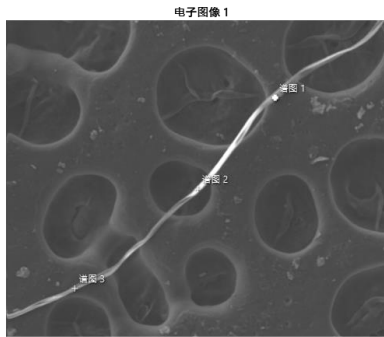


失效点的元素由C、Si和O元素组成，正常样品只含Si和O元素。

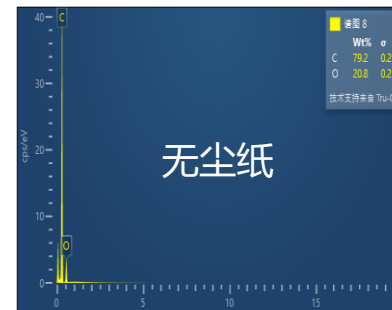
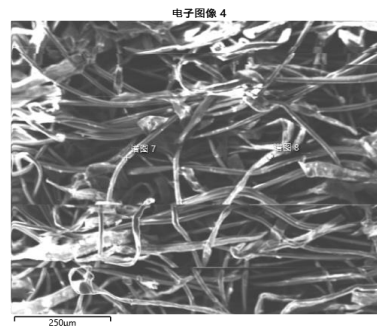
引入C元素的物质？



无尘服



棉签



无尘纸

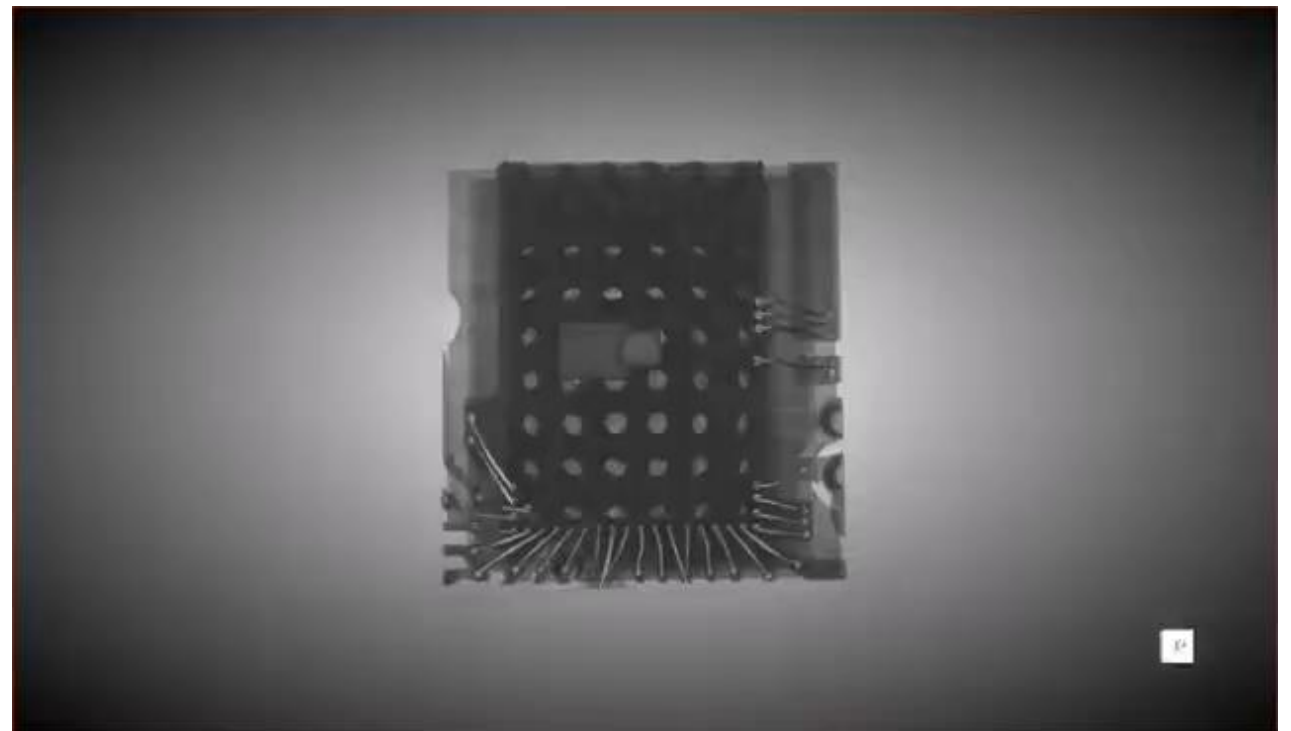
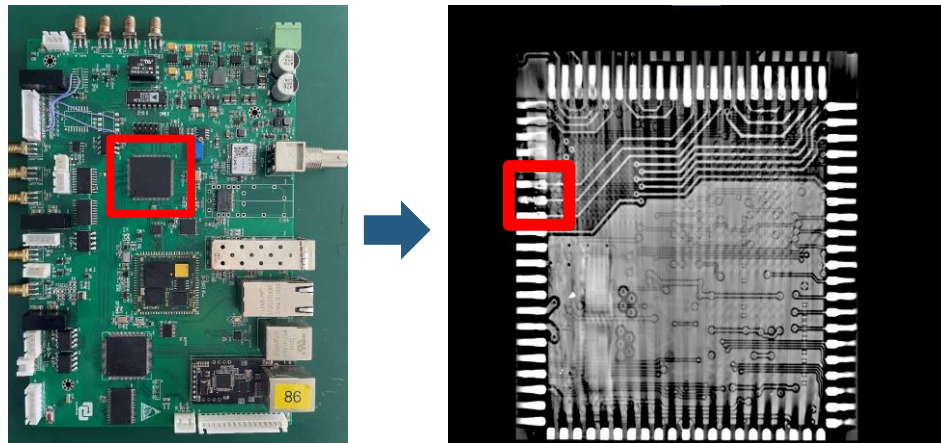


引入C元素的物质可能是棉签和无尘纸，而无尘服中含有钛元素，故将其排除。

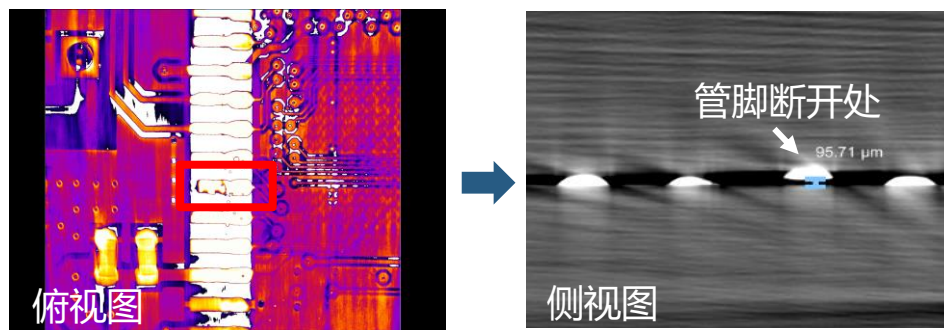
器件分析：③封装管脚失效分析

■ 无损分析：无需打开管壳即可3D透视成像

- 利用X-RAY显微镜对失效芯片进行整体扫描



- 对断开管脚放大扫描



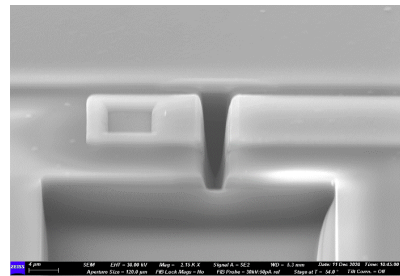
芯片管脚信号无法接收：左侧管脚7与PCB断开

电路修复

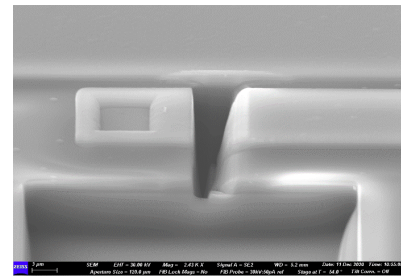
■ 设计和工艺原因引起电路问题

- 电路短路 → 金属导线切割
- 电路断路 → 金属导线连接

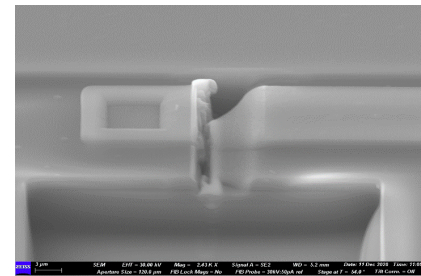
FIB-SEM双束聚焦离子束电子显微镜



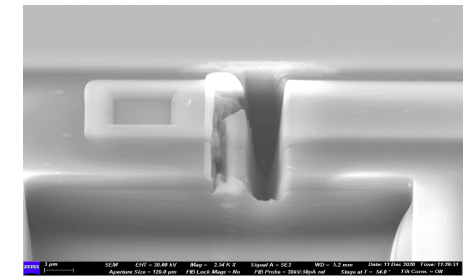
大束流粗切



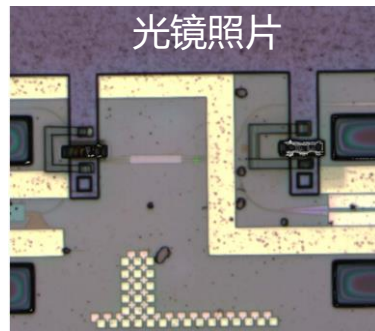
单边精抛



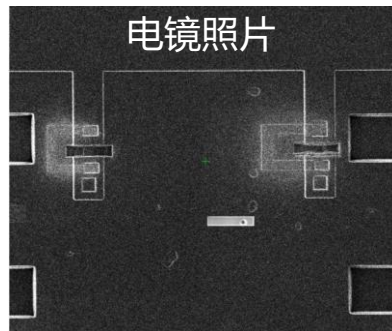
单边沉积二氧化硅



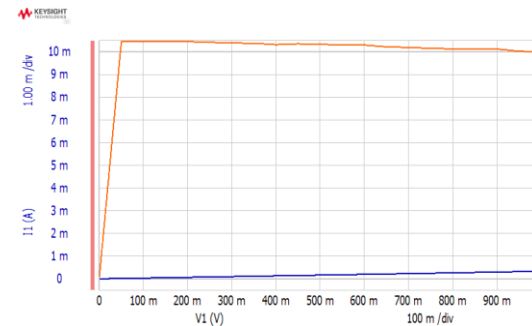
另外一边精抛



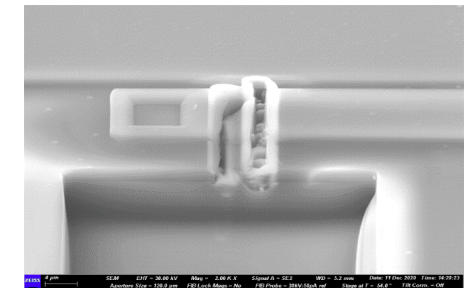
光镜照片



电镜照片



IV测试判断是否切断

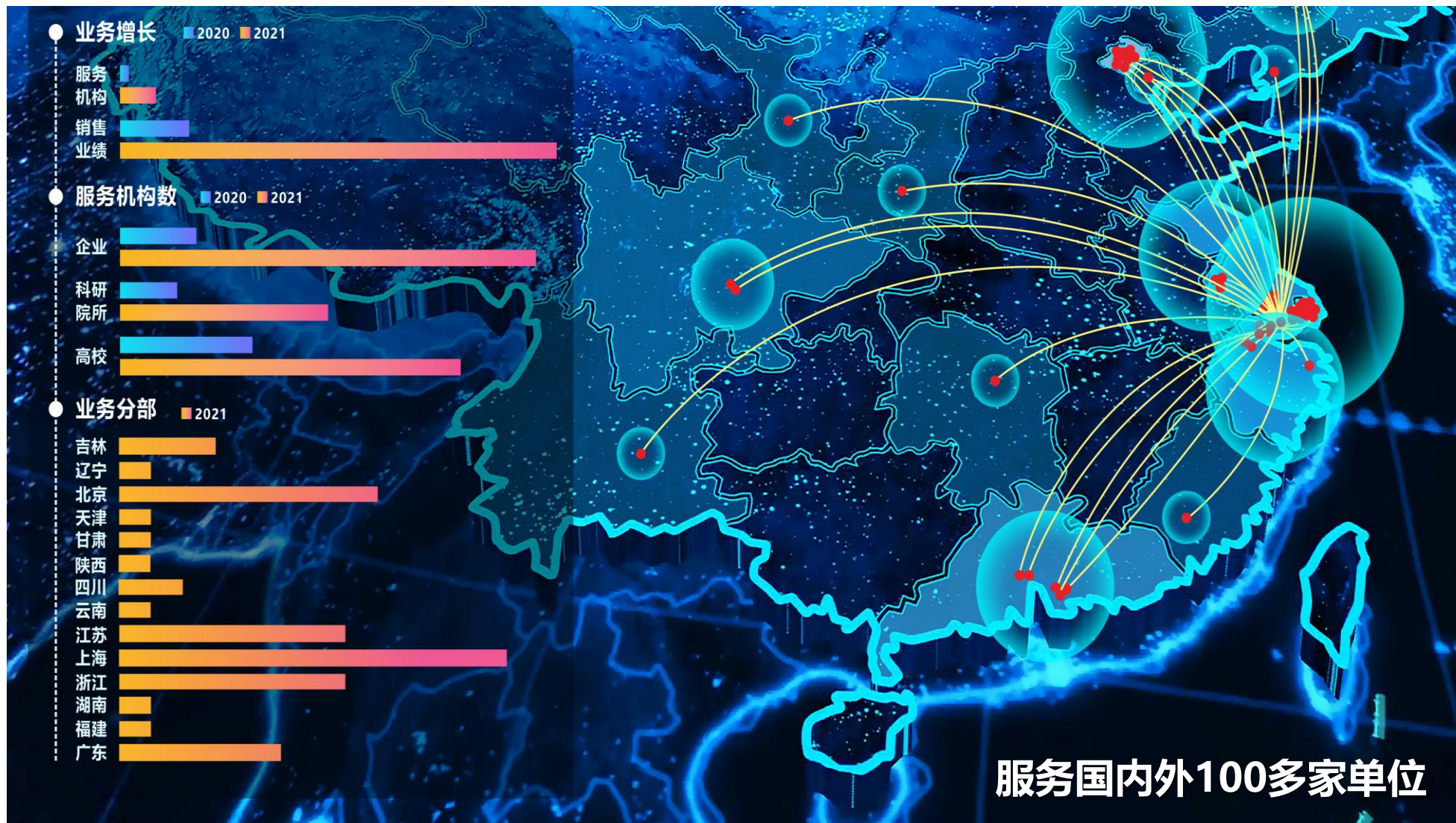


另外一边沉积二氧化硅

利用沉积完成电路修复

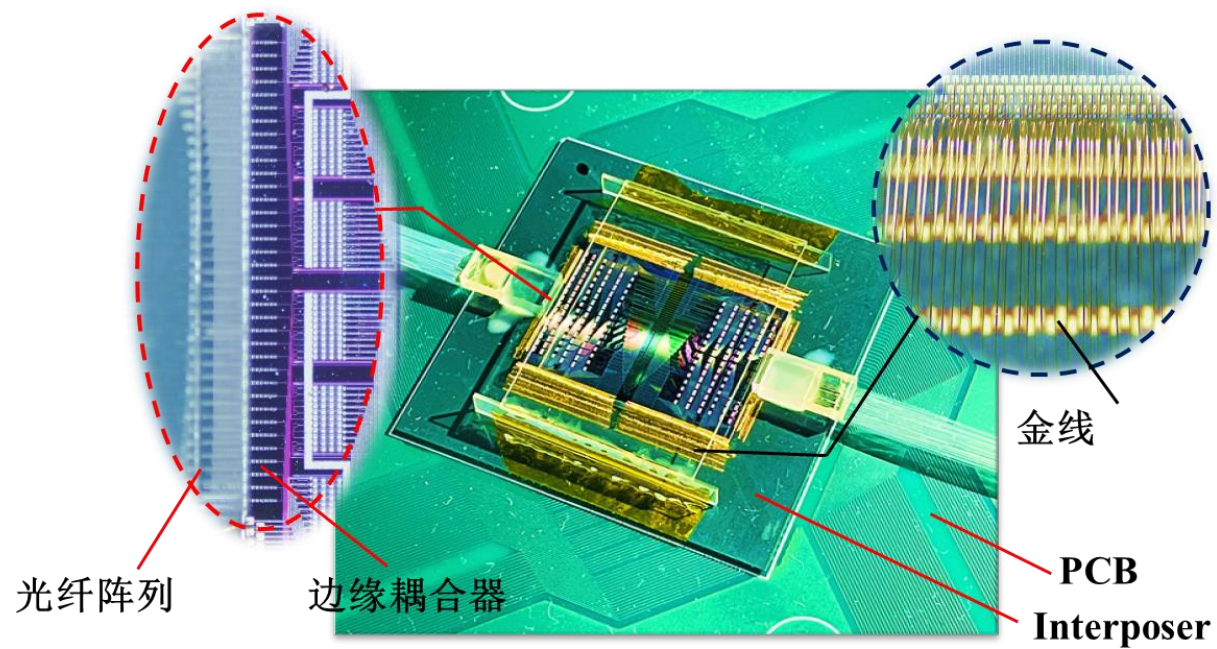
- 通过光电镜联动，可以精确定位到切割位置

合作单位



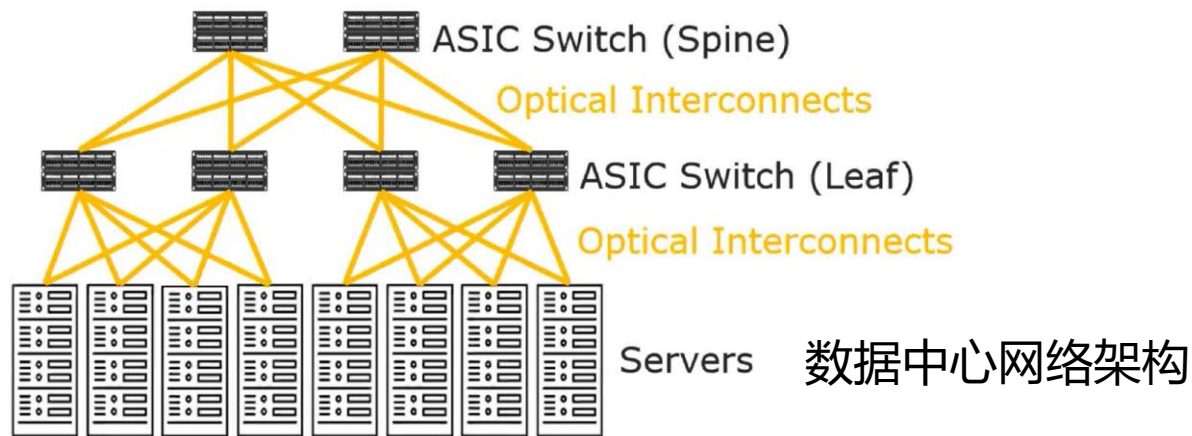
光电子芯片封装实例

封装实例一：32×32光交换芯片

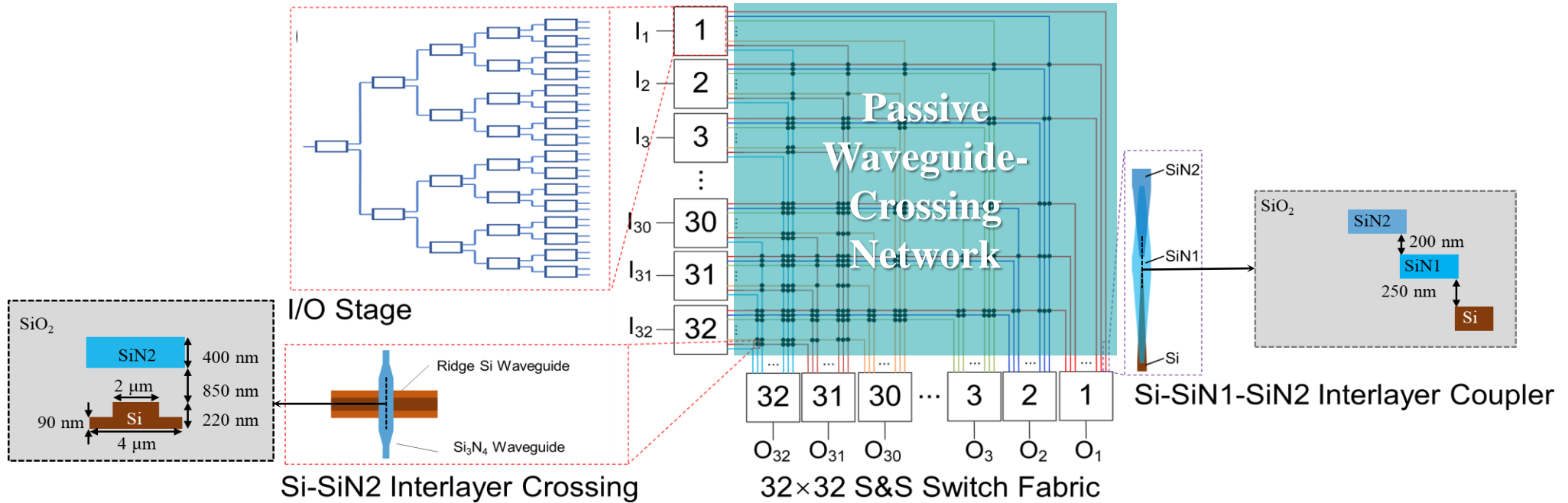


光交换重要性

吞吐量将高达Tb/s甚至Pb/s级别



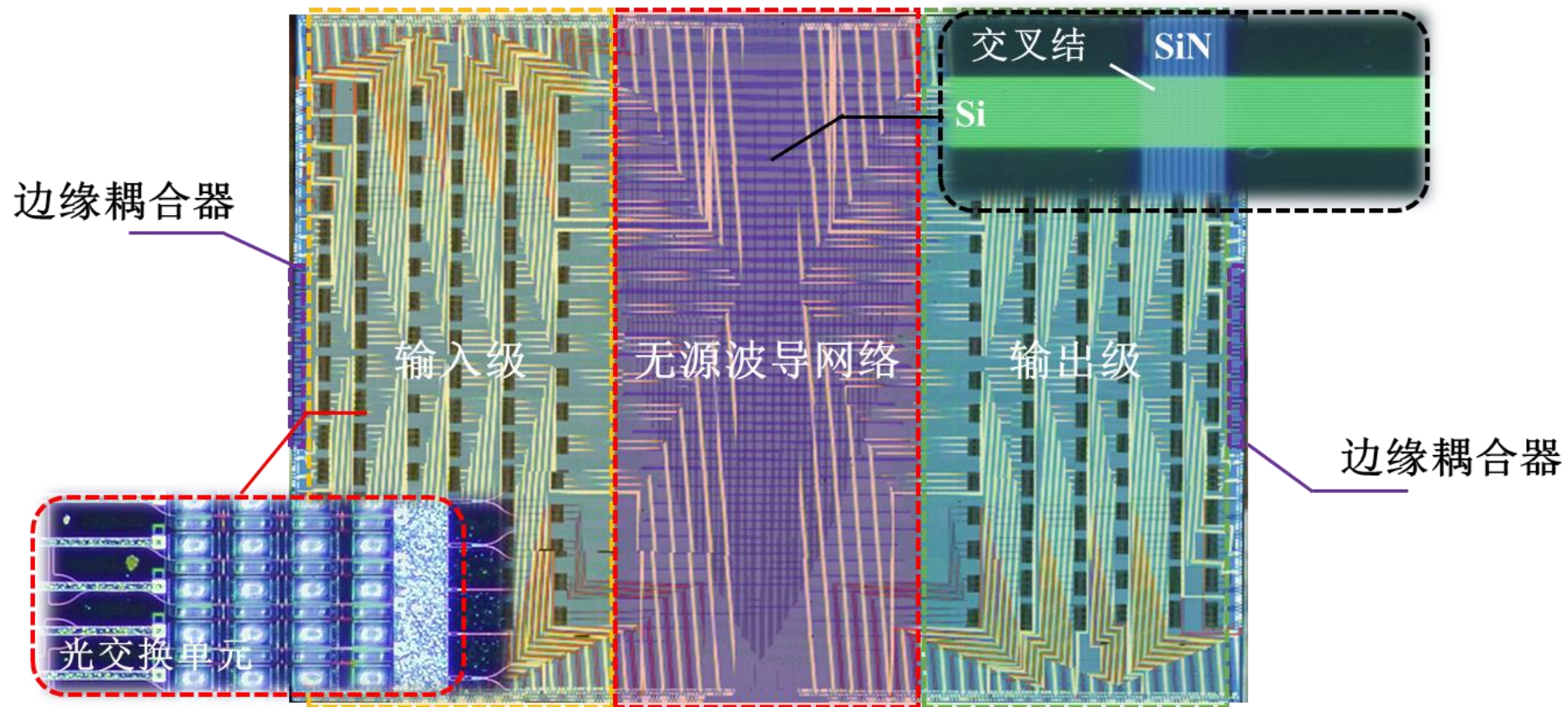
32×32光交换芯片



Switch & Select (S&S)拓扑结构: 严格无阻塞、低串扰

- 输入/输出级: 各32组1×32二叉树型光开关, 共**1984**个 MZI 交换单元
- 无源波导交叉网络: 共**246,016**个交叉结, **2048**个层间耦合器
- 单条链路包括10个MZIs, 2个层间耦合器, 至少**0**且**至多961**波导交叉结
- 任意一种路由状态, 需调控MZI不超过**320**个

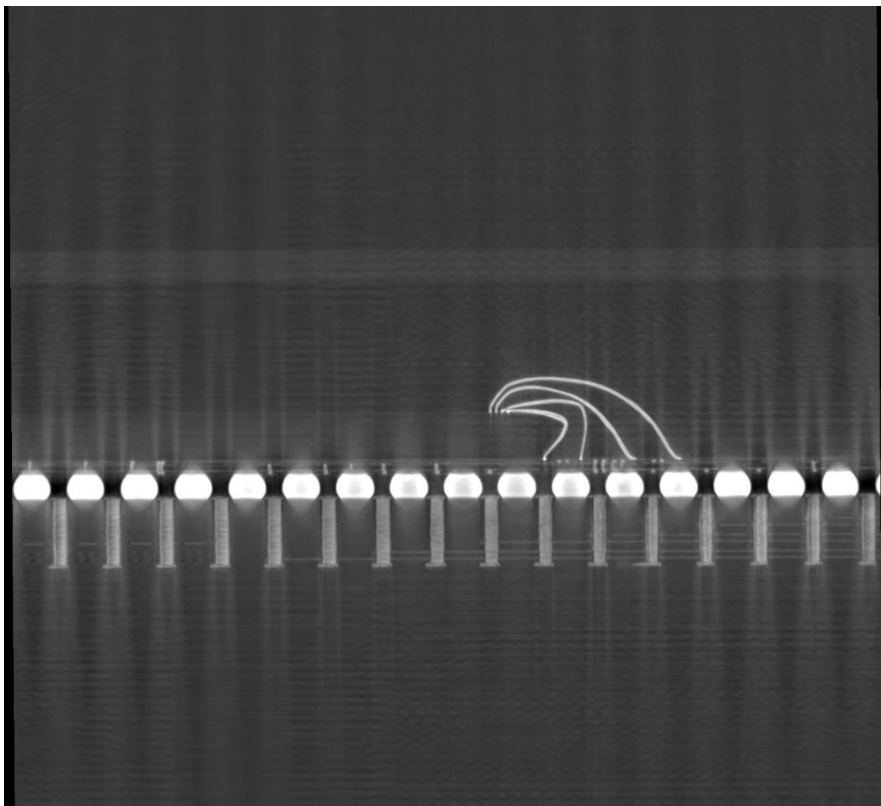
芯片照片



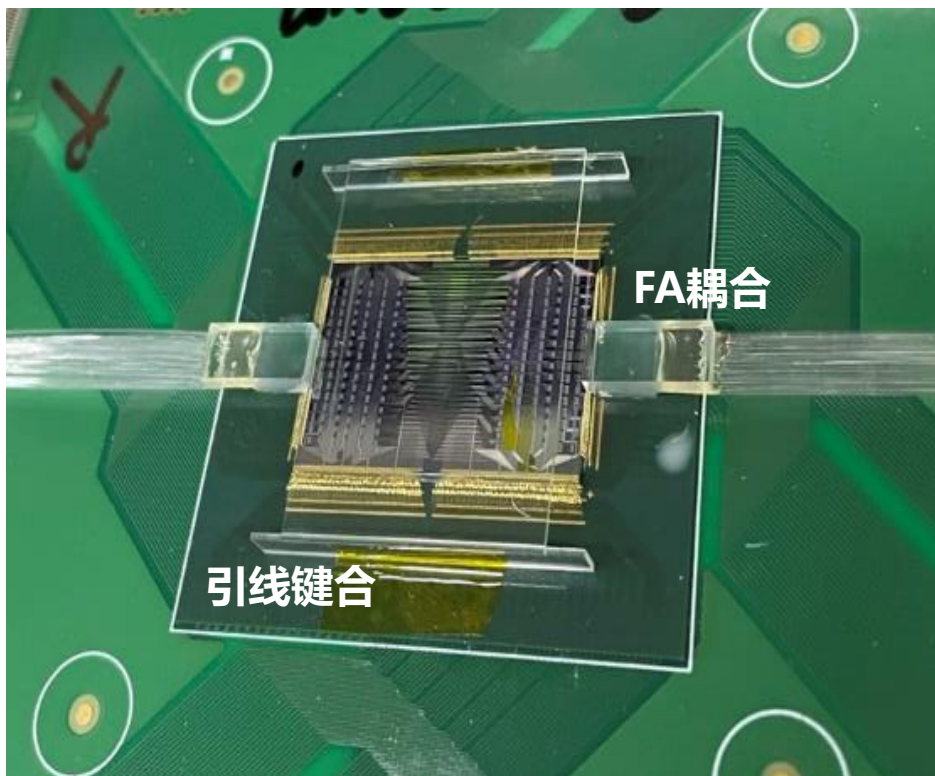
- 芯片面积: 18.3 mm×24.8 mm
- 2000多个电学端口
- 72个光学端口

封装后照片

■ 3D-Xray分析

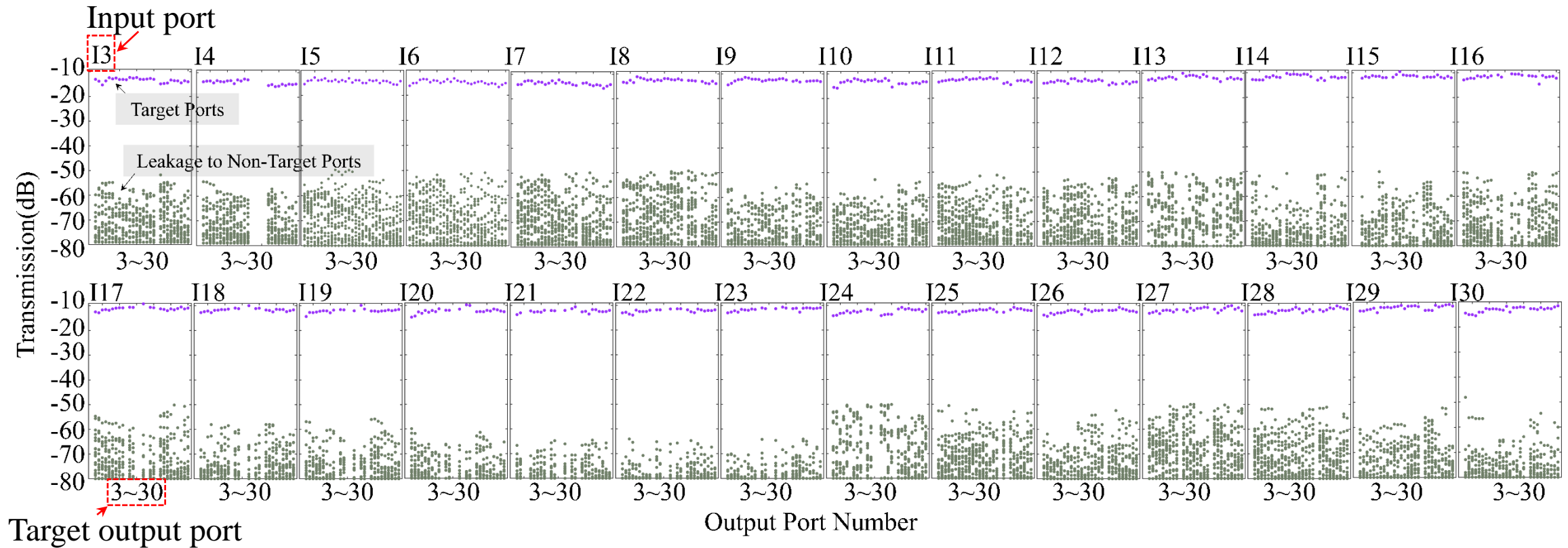


■ 芯片照片:



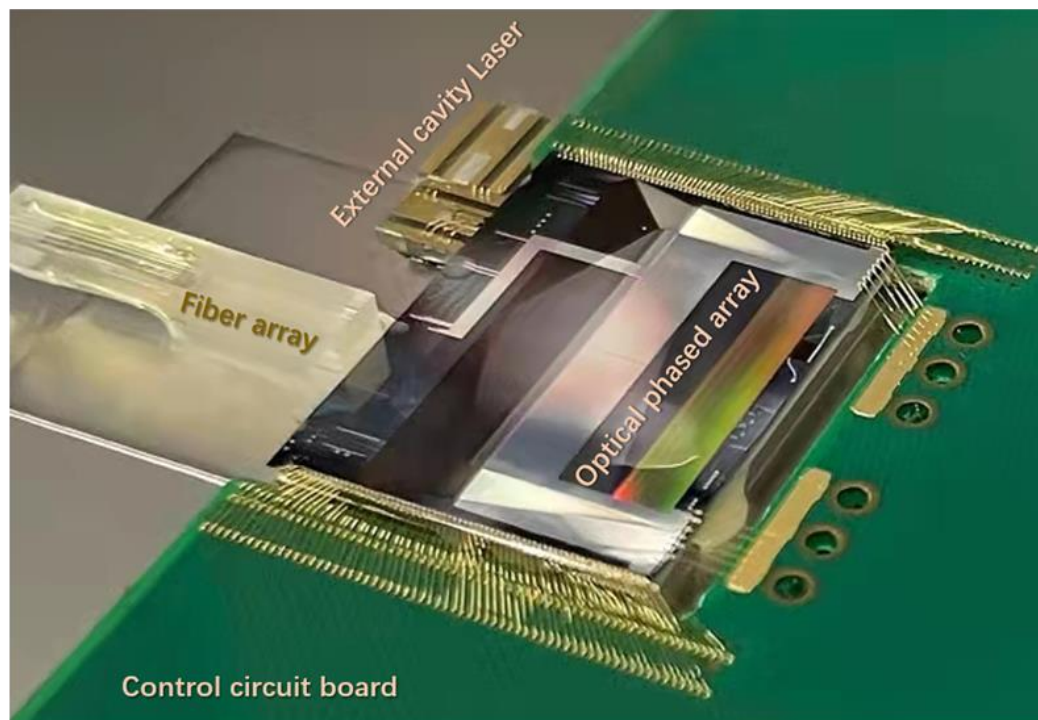
➤ 光学封装: SMF光纤阵列端面耦合(~ 3 dB/facet)

芯片测试结果: 插损和串扰



- 光纤-光纤插损: 9.61~14.51 dB (~6 dB 耦合损耗), 平均损耗: 11.76 dB
- 消光比: >35 dB @1580 nm

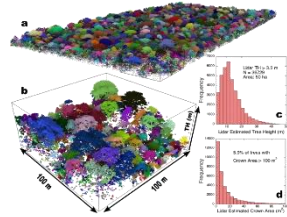
封装实例二：混合集成LiDAR发射芯片



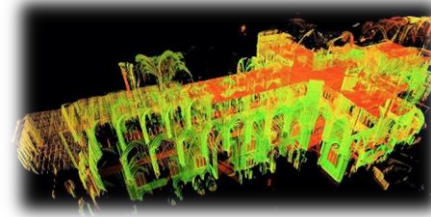
激光雷达应用



遥感测量



Environmental Surveillance



Architecture Preservation



Digital Twins



自动导航



Space Rendezvous



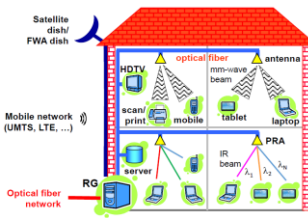
Automotive Lidar



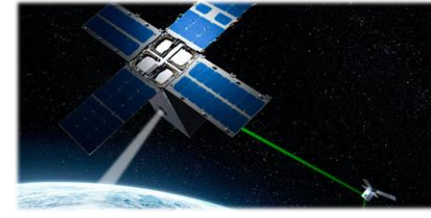
Obstacle Sensing



空间通信



Indoor LiFi



Free Space Communication



Laser Guided Ordnance



成像识别



Laser Hologram



Facial Recognition



VR/AR

混合集成LiDAR发射芯片

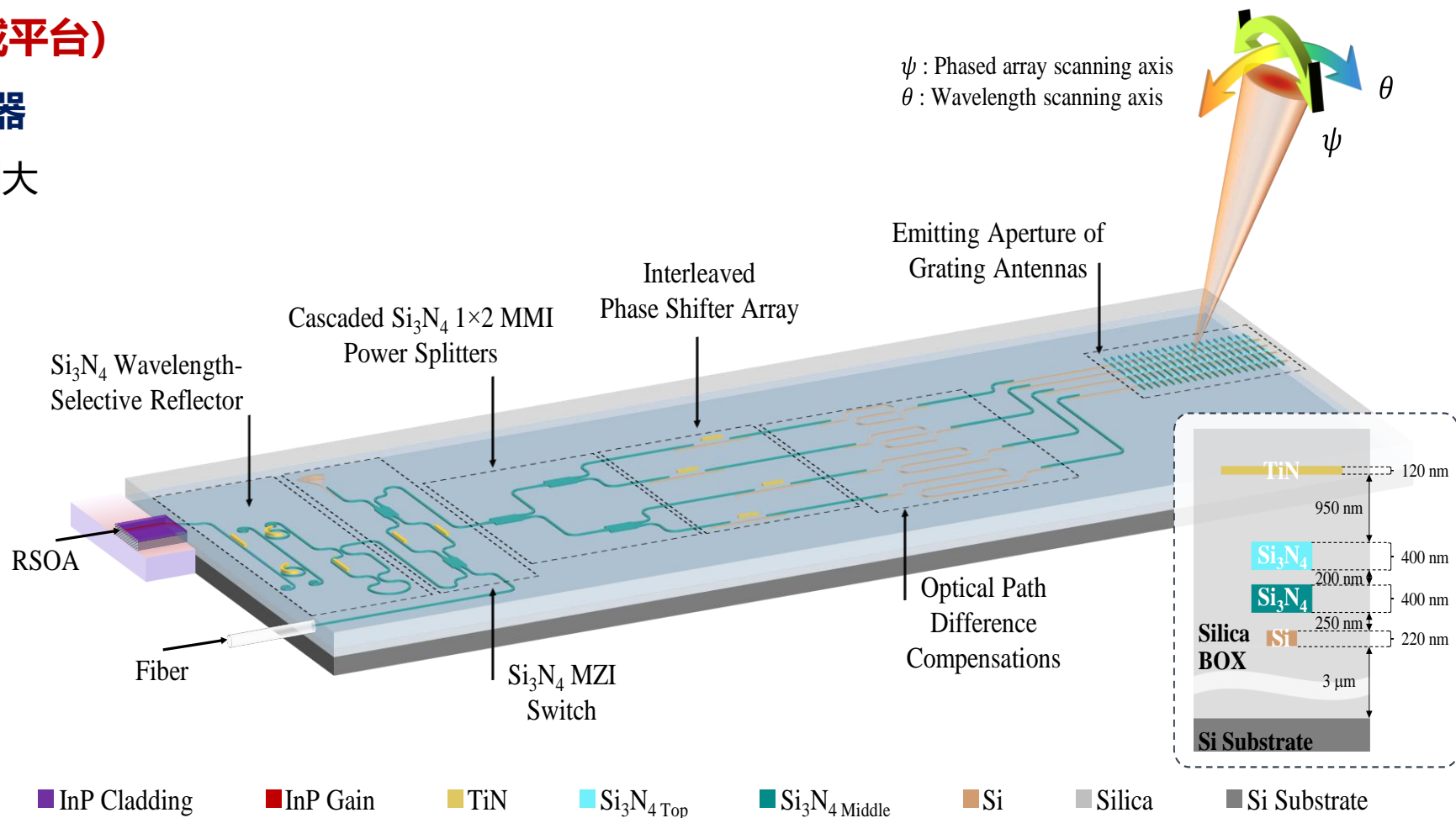
芯片结构 (Si-Si₃N₄三维集成平台)

■ III-V/Si 窄线宽可调激光器

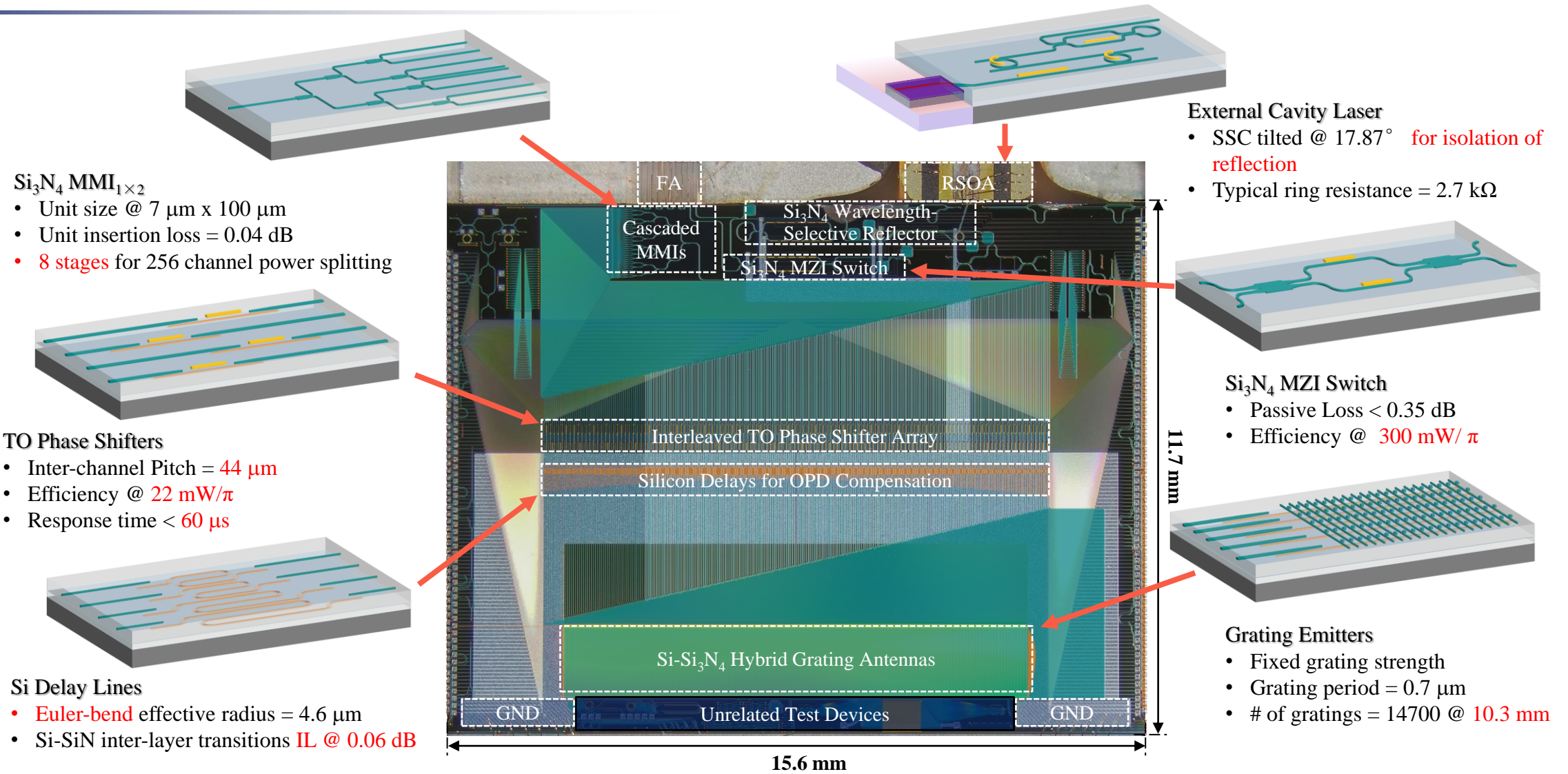
- Vernier微环：可调范围大
- Si₃N₄微环：低损耗

■ 256通道二维OPA

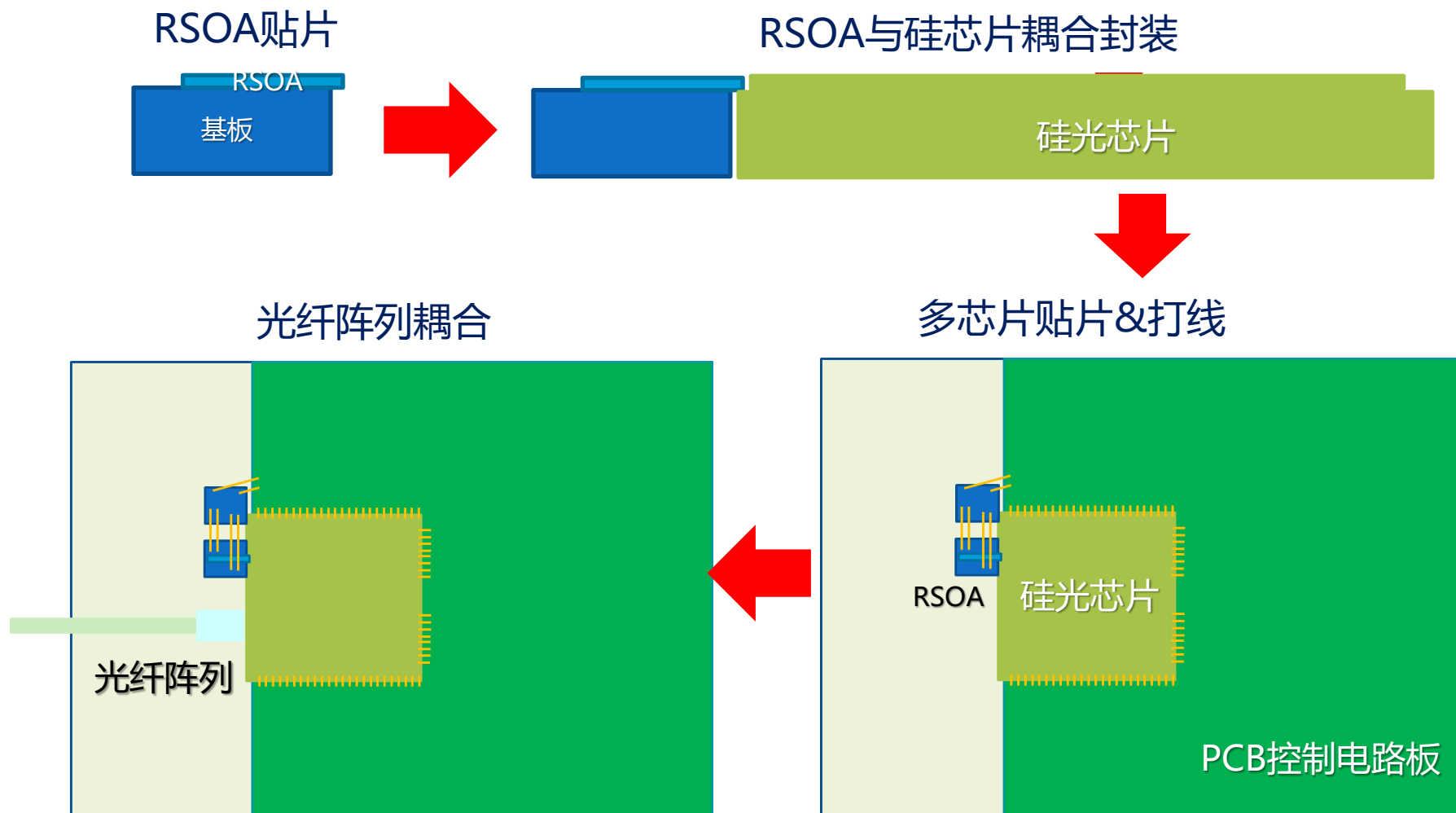
- Si₃N₄分路器：大功率
- Si移相器：低功耗
- Si-Si₃N₄发射天线：间距线性增加



芯片结构



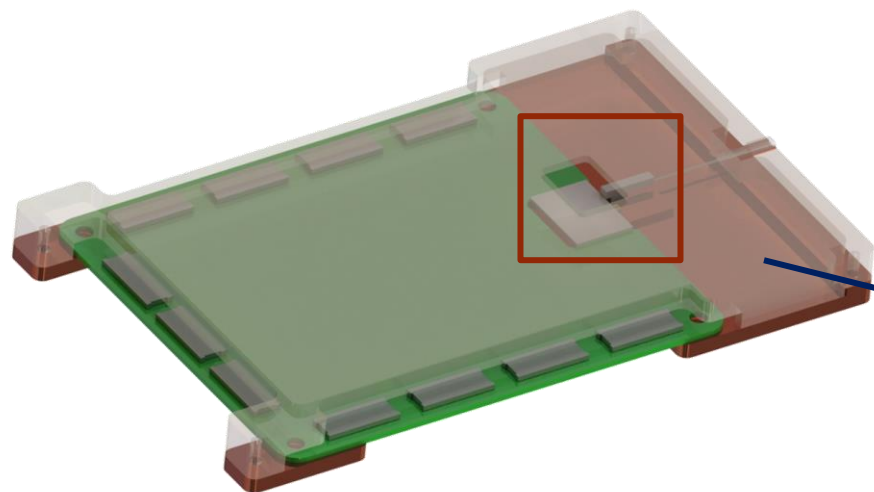
封装流程



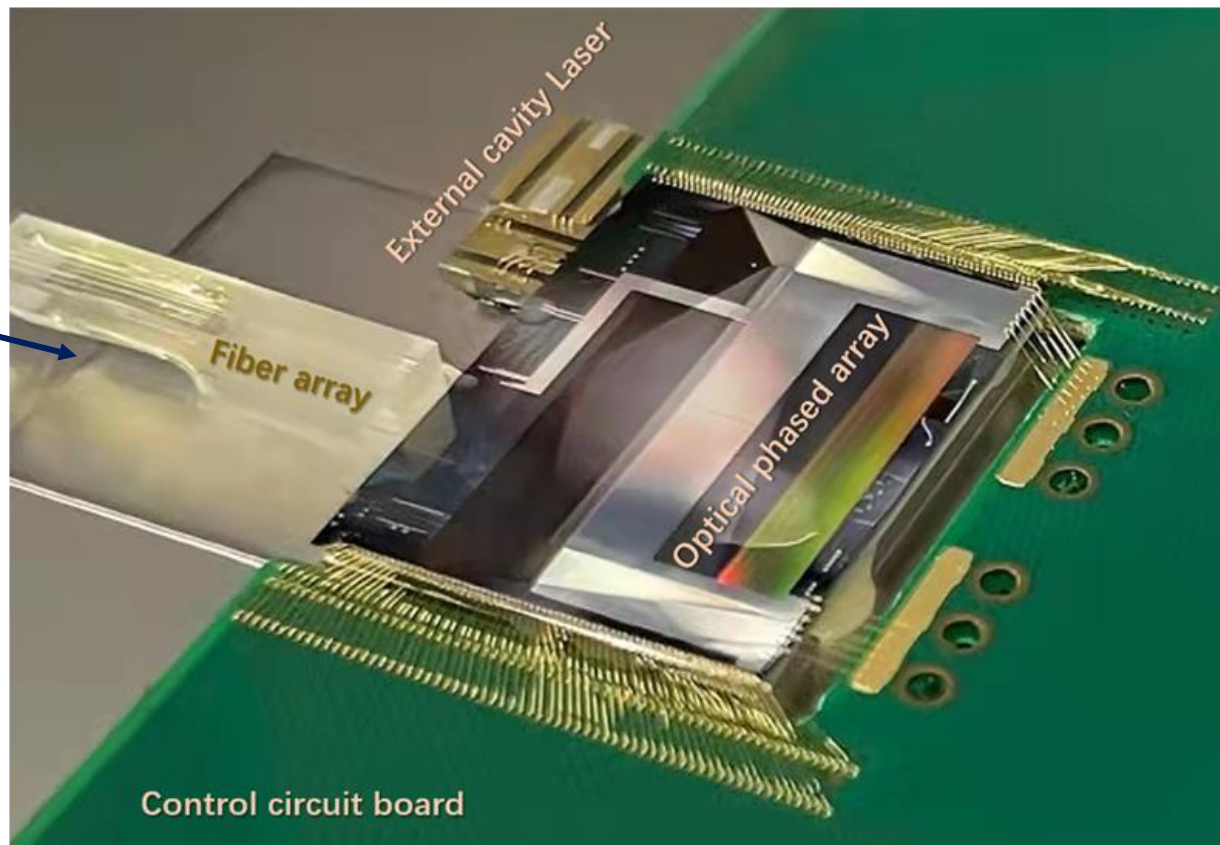
- 多芯片耦合
- 电学封装
- 光学耦合

封装后照片

■ 模块结构

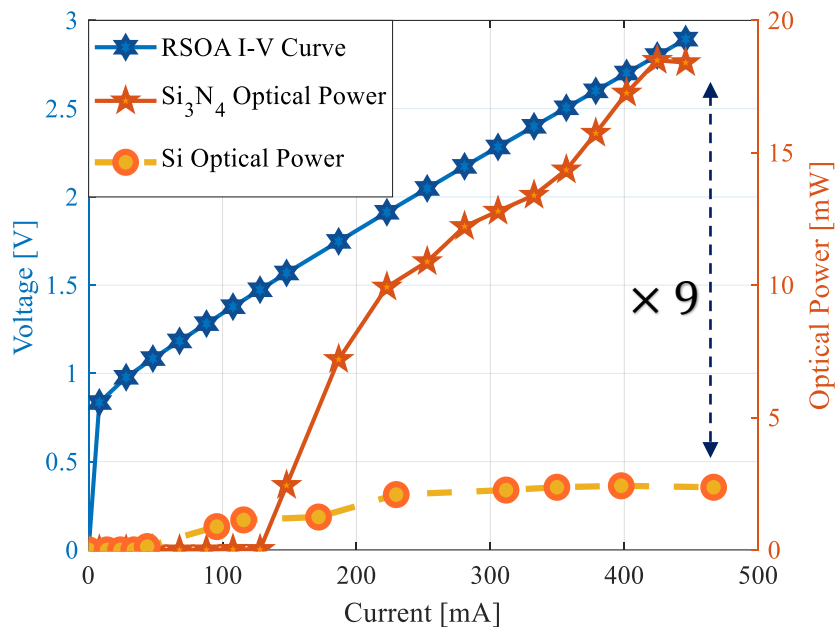


- FA耦合损耗: ~ 4 dB
- RSOA耦合损耗: ~ 2 dB

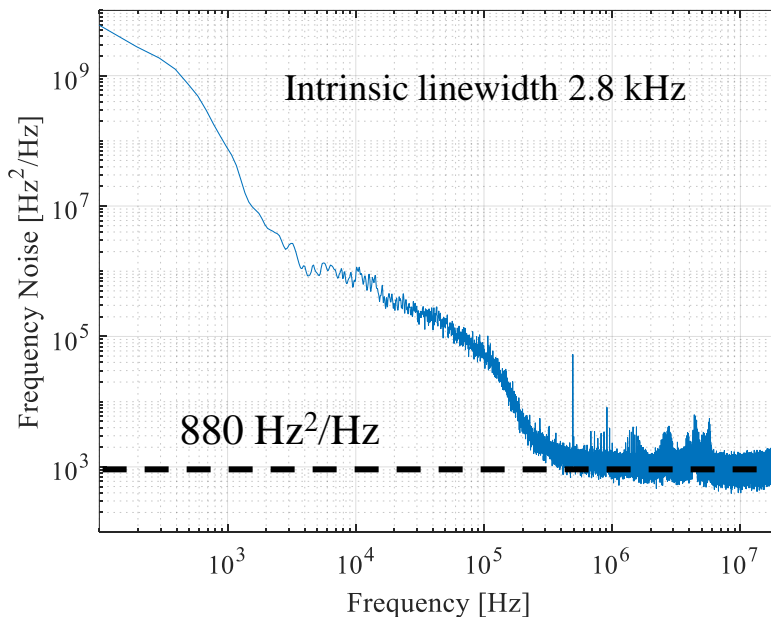


芯片测试结果: 激光器

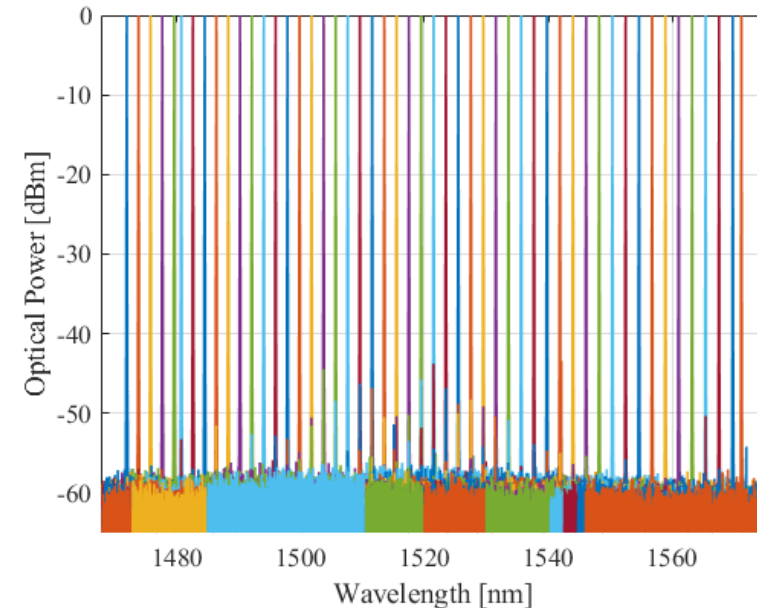
• L-I-V



• 线宽



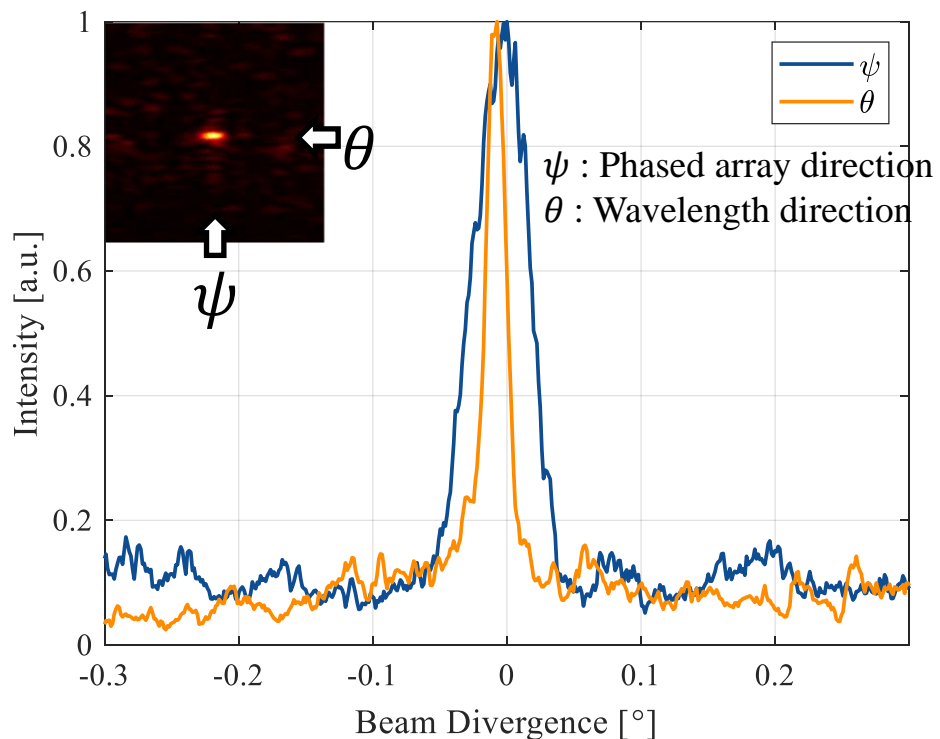
• 光谱



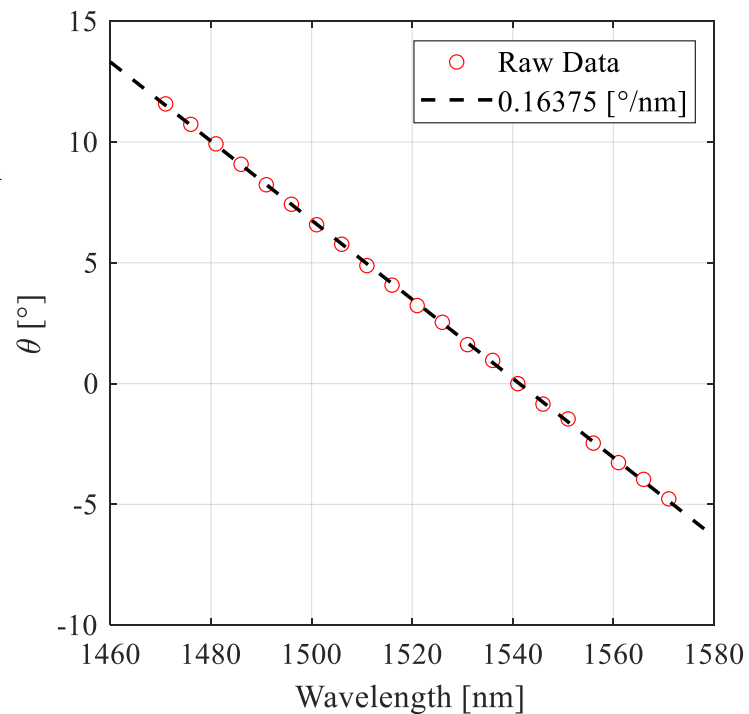
- 片上出光功率: ~18 mW, 是Si基激光器的9倍
- 本证线宽: 2.8 kHz@1549 nm, 200mA
- 波长范围: 1471~1571 nm
- SMSR: ≥ 42.6 dB @150 mA

芯片测试结果: OPA

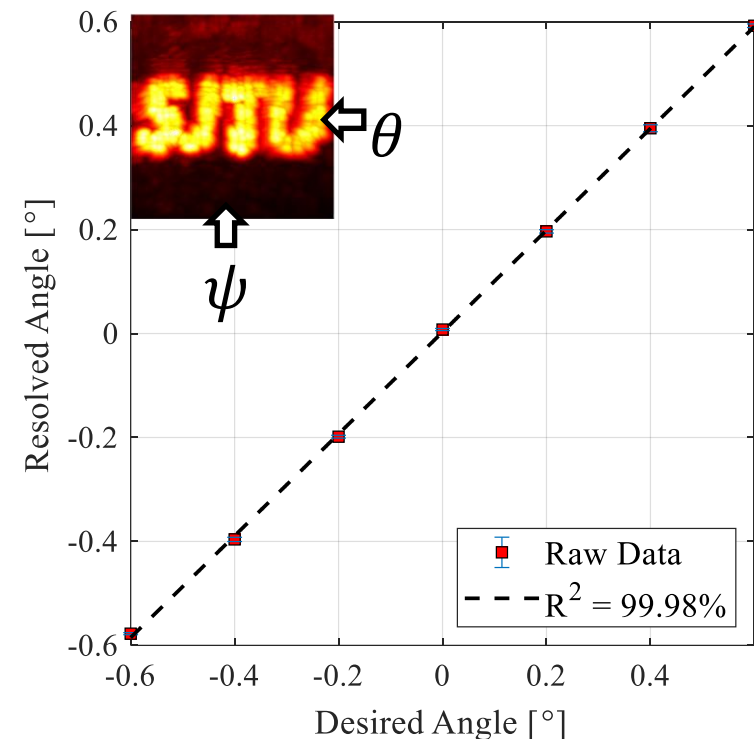
• 波束质量



• 波长扫描



• 相位扫描



- 波束发散角: $0.05^\circ \times 0.018^\circ$, SLSR: 8 dB
- 波长扫描范围: $\sim 16^\circ$ ($0.163^\circ/\text{nm}$)
- 角度扫描范围: 150° , 扫描误差: $< 0.011^\circ$

谢谢!



ljzhou@sjtu.edu.cn